

# **Dezvoltari metodologice si experimente teoretice asupra regimului de legatura si proiectarea proprietatilor. De la atomi, la supra-molecule.**

Raport 2013-2016

Dr. Fănică Cimpoeșu

## **Regim de legatura si proprietatile sistemelor cu ioni d si f continuti in fulerene, complecsi si sisteme solide.**

Proiectul descinde din preocupari precedente, aplicind metodologii originale dezvoltate anterior la noi sisteme si concepind tratamente inovatoare adoptate studiilor de caz. O directie importanta este tratarea ionilor lantanidici encapsulati in sisteme fulerenice, extinzind astfel area sistemelor f, de la compleksi coordinativi, la specii relativ inedite si exotice, rolul teoriei fiind acela de a exploata la maximum putina informatie accesibila (cauzata de dificultatea obtinerii probelor in cantitati manevrabile experimental) si de a efectua predictii ce suplinesc parti din experiment.

Intrucit regimul de legatura in atare sisteme este comparabil cu cel din mai cunoscutele sisteme coordinative si retele solide bazate pe ioni lantanidici, deoarece stratul f este ecranat si slab interactiv cu exteriorul, particularitate manifesta si in alte specii, precum cele organometalice si aductii fulerenici, aplicam metodologiile asa numitei teorii a cimpului liganzilor (Ligand Field-LF), atit la nivelul sau fenomenologic cit si in extensia computationala ab initio. Pentru testarea metodelor computationale in reproducerea regimului de legatura tipic LF (scindari mici in ordinul  $10^2$ - $10^3$  cm $^{-1}$  a stratului f), am abordat ca sub-teme verificari si calibrari metodologice, pe sisteme coordinative continind ioni lantanidici si pe clusteri extrasi din retele solide. Intrucit aceste dezvoltari metodologice s-au dovedit interesante si laborioase, am pregatit doua lucrari in aceste directii distincte, una dedicata verificarii metodei prin reproducerea datelor unei serii compleksi din literatura si una dedicata ionilor f encapsulati in retele solide, reconsidering o metoda de cimp al liganzilor numita modelul acoperirii angulare (Angular Overlap Model-AOM).<sup>1</sup> La acestea s-a adaugat o lucrare dedicata unui sistem fulerenic cu proprietati de magnet mono-ionic,<sup>2</sup> dezvoltata in cheia modelarii de cimp al liganzilor si predictiei proprietatilor cu ajutorul metodelor de calcul si interpretare concepute si testate in lucrarile relationate.

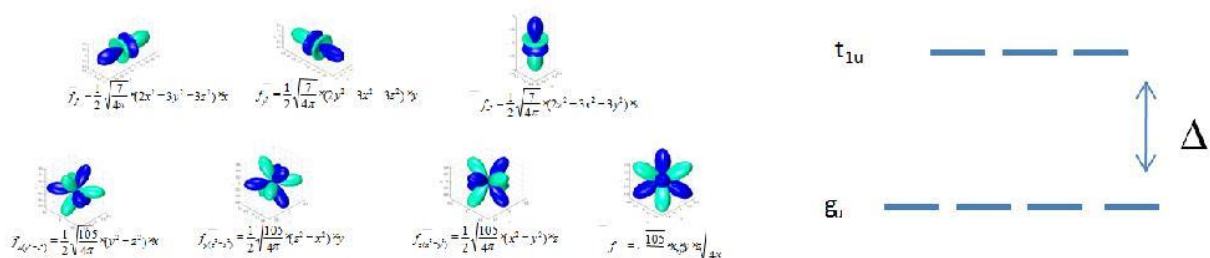
## Regim de legatura si stabilitate in sisteme $\text{LnC}_{60}$ .

Sistemele  $\text{Ln@C}_{60}$  ( $\text{Ln}=\text{Eu, Gd, Dy}$ )<sup>3</sup> sint cunoscute si studiate in masura mult mai mica decit alte molecule endoedrice ale lantanidelor in fulerene, dar sint un punct convenabil de pornire in analiza unor proprietati de baza. Utilizind geometria optimizata a sistemului cu lutetiu, observam intii parametrii geometrici ai encapsularii, raza custii fulerenice,  $R$ , si un indice  $\tau$  ce ar fi zero in situatia ipotetica a egalitatii celor doua tipuri de legaturi, C=C si C-C, din scheletul  $\text{C}_{60}$  in simetrie icosaedrica. Relatia acestora cu lungimile de legatura este:

$$l_{\text{C=C}} = 2R(1-2\tau) / \sqrt{9\gamma^2 + (1-2\tau)^2} \quad (1.a)$$

$$l_{\text{C-C}} = 2R(1+\tau) / \sqrt{9\gamma^2 + (1-2\tau)^2}, \quad (1.b)$$

unde  $\gamma=(1+\sqrt{5})/2$  este numarul de aur. Astfel, pentru sistemul  $\text{LuC}_{60}$  constituit din componente ionice,  $\text{Lu(III)}$  si  $\text{C}_{60}^{3-}$ , avem  $R=3.536 \text{ \AA}$  si  $\tau=0.011$ , adica o raza mai mica decit fulerita,  $\text{C}_{60}^{3-}$ , libera ( $R=3.566 \text{ \AA}$  si  $\tau=0.008$ ) si chiar decit fulerena neutra ( $R=3.553 \text{ \AA}$  si  $\tau=0.013$ ), ceea ce atesta o interactie stabilizatoare. Energia totala de legatura, relativa la fragmentele ionice este destul de mare, -38.982 eV, partea majoritara provenind din interactia ionica (-23.304 eV) dar o cantitate semnificativa este datorata si interactiilor orbitale (-16.256 eV), in conditiile unei repulsii Pauli mult reduse (+0.578 eV).



**Sinopsis 1.** Schema scindarii in cimp icosaedric exercitat de  $\text{C}_{60}^{3-}$  a stratului f din sisteme  $\text{Ln@C}_{60}$ .

Desi energia globala de coeziune este destul de mare, magnitudinea scindarii de cimp al liganzilor, notata  $\Delta$  in Sinopsis 1, este foarte redusa. Metode multi-configurationale self-consistente (CASSCF-Complete Active Space Self Consistent Field), estimeaza, din scindarea termenului  $^7\text{F}$  al sistemului  $\text{TbC}_{60}$ , un parametru  $\Delta=2.8 \text{ cm}^{-1}$ , pentru spatierea nivelelor  $t_{2u}$  si  $g_u$  ce formeaza reprezentarile stratului f in simetria icosaedrica,  $I_h$ . In aceste conditii, modelarea computationala este relativ riscanta, aflata la limita preciziei numerice, selectind alte sisteme pentru studiul ulterior, care deasemeni au si proprietati speciale ce le fac foarte interesante, ca principiu si potentiala aplicabilitate.

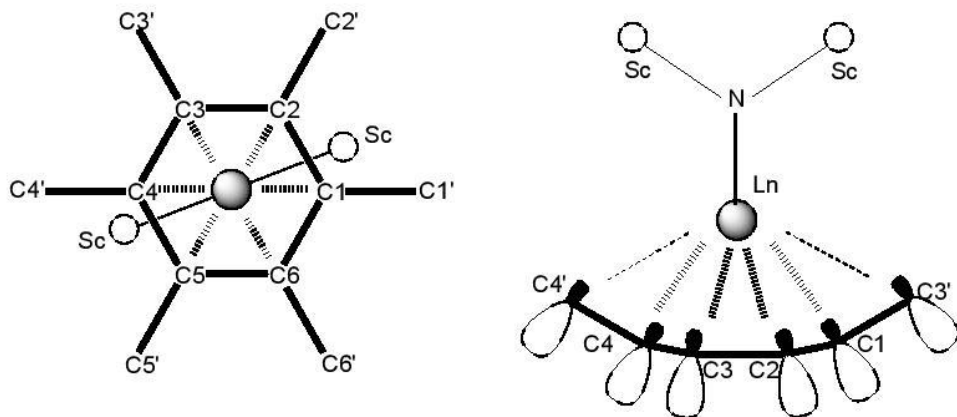
*Abordarea teoretică, de cimp al liganzilor, a regimului de legatura și anizotropia magnetica în fulerenă endoedrica DySc<sub>2</sub>N@C<sub>80</sub>, cu proprietati de magnet mono-ionic.*

O clasa remarcabila de sisteme lantanido-fulerenice endoedrice este reprezentata de cusca icosaedrica C<sub>80</sub> incorporind un triunghi de ioni metalici, triplu legati de un atom central de azot, diferite sisteme Ln<sub>3</sub>N@C<sub>80</sub>, cu ioni lantanidici trivalenti (Ln=Gd, Tb, Dy, Ho) fiind investigate in cheia proprietatilor magnetice speciale.<sup>4</sup> Sistemele homometalice cu aceasta topologie si componzitie mixta Ln<sub>x</sub>M<sub>3-x</sub>N@C<sub>80</sub>, sint de asemenea cunoscute,<sup>5</sup> un caz provocator fiind sistemul DySc<sub>2</sub>N@C<sub>80</sub><sup>6</sup> care prezinta comportare speciala de Single-Ion-Magnet (SIM), similara cu cea evidentiată anterior in mononucleari de tipul bis (ftalo-cianinato) lantanid: [Pc<sub>2</sub>Tb]<sup>-</sup>, [Pc<sub>2</sub>Dy]<sup>-</sup> ori [Pc<sub>2</sub>Ho]<sup>-</sup>.<sup>7</sup> Proprietatea SIM este o fateta uimitoare a paradigmelor Single Molecule Magnet (SMM),<sup>8</sup> care initial a fost presupusa in compusi de coordinare cu nuclearitate mare<sup>9</sup> și treptat identificata in sisteme mai mici<sup>10</sup>, până la binucleari.<sup>11</sup> Chimia fizica a ionilor de lantanide în interiorul fullerenei reprezinta o lume nouă, aflata inca in etapele inițiale de explorare, ce prezintă perspective promițătoare pentru un nou tip de magnetism molecular, șarjind catre subiectul în vogă al spintronicii, ca tehnologie a viitorului.<sup>12</sup>

Considerind sistemul de DySc<sub>2</sub>N@C<sub>80</sub> ca prototip pentru sisteme Magnet Mono Ionic (Single Ion Magnets -SIM), bazate pe fulerene endoedrice, prezentam metodologii avansate și calcule state-of-the-art pentru analiza structurii electronice și a relației sale cu proprietățile magnetice datorate ionului de Dy(III). Rezultatul calculelor quanto-chimice este decriptat în sensul conceptelor de cimp al liganzilor (LF) în aspecte cantitative și calitative, extragind seturile parametrice complete și interpretând tabloul într-o cheie euristică. Un rezultat important este caracterizarea anizotropiei magnetice în stările fundamentale și excitate, prin determinarea diagramelor polare ale funcțiilor de magnetizare specifice fiecarei stări, oferind o imagine vizuală clară pentru orientarea axei de usoara magnetizare și răspunsul la perturbări magnetice aplicate din diferite direcții spațiale. Funcțiile de magnetizare specifice fiecarei stări sunt deriveate în raport cu câmpul magnetic, luate pentru o anumită valoare proprie a spectrului calculat, harta lor precizând informațiile legate de axa corespunzătoare de magnetizare. Metodologia este proiectată exploataind date din cutia neagră a calculelor ab initio Spin-Orbita (SO) și implementând dependența de cimpul magnetic, ceea ce permite simularea din principii prime a proprietăților magnetice. Curbele de magnetizare calculate corespund masurărilor experimentale. Abordarea prin calcul a proprietăților fulleranelor endoedrice este un obiectiv important, ajutând pentru completarea deficitului de date experimentale cu privire la un astfel de sistem, determinate de lipsa unor cantități masurabile din astfel de probe.

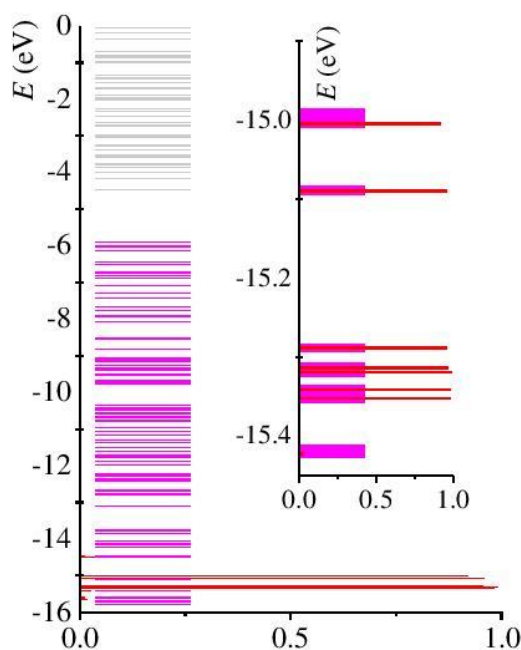
### *Geometria moleculara si caracteristici generale ale legaturii.*

Înainte de a intra în problema principală a calculului ab initio dedicat specificitatii stratului f în structura electronica și proprietățile magnetice ale sistemului DySc<sub>2</sub>N@C<sub>80</sub>, vom considera în preambul o descrierea generală structurală. Deoarece geometria globală a moleculei poate fi perceputa corespunzător de la imaginea următoare dedicate orbitalilor moleculari sau desenelor cu hărțile polare ale anizotropiei, sau din imaginile unor lucrări,<sup>4 5 6</sup> vom incepe cu imaginea idealizata din Schema 1. Aceasta este bazata pe geometria noastră optimizată. Folosim congenerul LuSc<sub>2</sub>N@C<sub>80</sub>, pentru a evita complicațiile și nesigurantele conceptuale legate de stratul f deschis în abordarea clasică de tip Density Functional Theory (DFT), pe care se bazează optimizarea, procedurile CASSCF fiind altminteri mult prea costisitoare pentru acest scop. Considerind scopul nostru ca aspect semicantitativ al mecanismelor de interes (schema de Cimpal Liganzilor și anizotropie magnetică), concluziile nu pot fi modificate prin mici incremente în lungimi de legatură și parametri angulari. De fapt, este posibil ca mai multe minime locale să fie identificate având în vedere versatilitatea raportată pentru orientarea entității încapsulate,<sup>13</sup> dar ne limităm la idealizarea actuală, ca reprezentativa pentru obiectivul stabilit. Fiind conștienți de impactul posibil al aşa-numitei contracții lantanidice, și anume scăderea lentă și constantă a razei ionice de-a lungul seriei f în tabelul periodic,<sup>14</sup> se poate accepta că sistemul Lu poate furniza legături chimice subestimate în raport de cel cu Dy. Cu toate acestea, efectul nu este dramatic, lungimile de legaturi pot varia cu doar 3% în izomorfi moleculari ai lantanidelor plasate la diferite extreme în seria f. În același timp, fulerena este un edificiu rigid și nu ne putem aștepta ca legatura destul de slabă (practic ionica) cu lantanidul să poată modula în mod decisiv parametrii geometrici. Cu alte cuvinte, fulerena însăși constringe legaturile în unitatea DySc<sub>2</sub>N. Astfel legatura optimizată N-Lu este de 2.133 Å, sensibil mai scurtă decât legaturile coordinative obisnuite în complexii lantanidici. De exemplu, în analogul diamagnetic [Pc<sub>2</sub>Lu]<sup>(+)</sup> al complexilor cunoscuți ca sisteme de tip Ishikawa<sup>7</sup> distanțele medii Lu-N sunt în jur de 2.37-2.39 Å.<sup>15</sup> Se pare că fragmentul DySc<sub>2</sub>N este constrâns către lungimi de legatură comprimate în interiorul cufundării de fulerena. Într-o descriere aproximativă, sugerată în Schema 1, legatura N-Ln este orientată către centrul unei fețe hexagonale a C<sub>80</sub>, atomii corespunzători C1-C6 formând prima înconjurare, cea de a doua, schitată de C1'-C6', fiind atribuită celui de al doilea cerc de atomi capabili să exerce o perturbare LF ionului lantanidic. Intregul sistem are o simetrie C<sub>2</sub>, de exemplu legaturile Ln-C1 și Ln-C4 fiind echivalente. Astfel, menționând simetria razelor de coordonare independente, urmatoarele lungimi de legatură au fost obținute prin optimizare DFT: R(Ln-C1)=2.482 Å, R(Ln-C2)=2.485 Å, R(Ln-C3)=2.482 Å, pentru cele mai apropiate contacte și R(Ln-C1')=2.892 Å, R(Ln-C2')=2.94 Å, R(Ln-C3')=2.895 Å pentru urmatorii vecini.



Schema 1.

Calitativ, sistemul poate fi caracterizat printr-un caracter axial puternic efectiv datorat legăturii scurte cu atomul de azot și distanței mai mari fata de cușca de carbon. Deoarece densitatea de electroni este situată pe suprafața exteroioră a fulerenei, așa cum se sugerează în partea dreaptă a Schemei 1, prin orientarea lobilor mici ai orbitalilor hibridi spre lantanid, perturbațiile interioare datorate atomilor de carbon pot fi considerate relativ mici. Regimul de legătura, în general, poate fi caracterizat ca fiind similar compusilor organometalici ai lantanidelor.



**Sinopsis 2.** Diagrama energiilor MO din calculul DFT (BP86/TZP) pentru complexul  $\text{LuSc}_2\text{N}@C_{80}$  incluzind, pe abscisa, histograma continutului de tip  $f$  pentru fiecare AO. Inset: Secvența marita continuând orbitale cu caracter preponderent  $f$ .

Pentru a ilustra complicațiile de principiu ale tratamentului de structura electronică în sistemele f prezentam în Sinopsis 2 diagrama de orbitali moleculari a complexului  $\text{LuSc}_2\text{N}@\text{C}_{80}$ , reprezentând pe abscisa fractia de orbital atomic f în fiecare orbital molecular. Se poate observa că o serie de orbitali plasati între -15.5 și -15.0 eV, mult sub nivelul HOMO, localizat la aproximativ -6 eV, sunt aproape complet de tip f (prezentând fractiuni apropiate de unitate). Astfel, putem identifica sapte orbitali atomici de tip f- (unele în relație reciprocă de evazi-degenerare, liniile lor suprapunându-se în Sinopsis 2). Remarcăm posibilitatea degenerării accidentale cu orbitali moleculari aparținând restului moleculei, aşa cum este cuplul de nivele apropiate de energia -15.0 eV, unul aparținând lantanidului, altul cuștii fulerenice. Există aproximativ 100 de orbitali moleculari dublu ocupati, plasati deasupra secvenței de tip f, situația ilustrând natura non-aufbau a compușilor cu ioni de lantanide. În actualul calcul, bazat pe un sistem de Lu(III) cu strat inchis, configurația completa  $f^{14}$ , situația nu este nominal non-aufbau, dar este ilustrativa pentru congenerii cu strat parțial ocupat, deoarece este rezonabil să presupunem că fizica legăturii rămâne comparabilă, rezultând în situația stratului f parțial completat plasat sub multe obitale moleculare complet ocupate ale scheletului molecular. O asemenea structură electronică este practic imposibilă de tratată în metode obisnuite self-consistente mono-determinant. Cadrul unrestricted DFT poate fi relativ ușor de folosit, fără probleme de convergență.<sup>16</sup> O analiză atentă poate arăta că, având stive diferențe de orbitali moleculari pentru subsistemele  $\alpha$  și  $\beta$ , convergența este atinsă prin costul unei separări (ca energie și formă) nerezonabile fizic. Mecanisme ascunse din spatele calculelor de tip unrestricted nu sunt adecvate pentru exploatarea în continuare în interesul analizei de tip LF, chiar dacă pot oferi o descriere bună a distribuției de spin a stării fundamentale.

La scară moleculară mare și simetrie scăzută, abordarea non-rutină LF-DFT devine foarte laborioasă și ca urmare a efectelor degenerării accidentale și dificultății de atribuire ale orbitalilor moleculari de tip f în întreaga schema. Din aceste motive tehnice, vom folosi în cele ce urmează calea calculelor de tip CASSCF. Ne vom limita, de asemenea, la nivelul CASSCF fără a încerca procedurile perturbatoriale de ordin doi (PT2), în diversele lor implementări.<sup>17</sup> Am aratat anterior că, în complexii de lantanide, calculele CASSCF par să da practic aceleași rezultate și după corecțiile PT2. Acest lucru se datorează faptului că această corecție este concepută pentru a contracara alegerea limitată a spațiului activ, lăsând în afara orbitali moleculari care pot fi relevanți pentru efectele investigate. Aceasta nu este valabil în complexii lantanidi, deoarece -cu siguranță - pentru complexi mono-nucleari, fizica legată de natura LF și de magnetism este bine definită printr-o abordare CASSCF( $7,n$ ) ( $n$  electroni în 7 orbitale), care corespunde fenomenologiei configurației  $f^n$  a unui ion lantanidic dat.

Alaturi de sistemul de interes,  $\text{DySc}_2\text{N}@C_{80}$ ,<sup>6</sup> consideram in actualul experiment computational congenerul  $\text{TbSc}_2\text{N}@C_{80}$ , care este deosebit de convenabil in interpretarea schemei LF. Data fiind similitudinea generala a caracteristicilor de legatura ale lantanidelor din compusi izostructurali, concluzia din sistemul terbiu poate fi transferata, aproximativ, la cel de disprosiu. Calculul pe sistemul de Tb a fost realizat cu o metoda CASSCF(7,8), i.e. 8 electroni in 7 orbitali, corespunzind configuratiei  $f^8$ , facind medierea peste cele sapte stari ale termenului fundamental  $^7F$ . Similar, cazul Dy presupune calcule CASSCF(7,9), mediind cele 11 stari corespunzatoare scindarii LF ale termenului  $^6H$ . Datele sunt prezентate in Tabelul 1, comparind rezultatele obtinute la utilizarea bazelor 6-31G vs. 6-31G\* care sunt similare pentru fiecare compus lantanidic. Aceasta dovedeste ca demersul computational in sistemele lantanidice nu cere setari inalte, cu seturi de baza bogate pe intreaga molecula, deoarece fizica stratului f necesita doar o parte radiala rezonabila pentru orbitalele atomice f. In cazuri anterioare in care s-a tratat magneto-chimia complexilor f si d-f, utilizarea setului de baza SBKJC pentru lantanide conduce la o buna reproducere a datelor experimentale,<sup>18</sup> ceea ce ne determina sa credem in performantele sale rezonabile si in acest caz. Din fericire, mecanismele legate de magnetismul molecular determinat de stratul f in sine nu sunt atat de puternic dependente de setul de baza ca alte proprietati, precum termochimia moleculara, ar putea fi.

**Tabel 1.** Rezultatul calculelor CASSCF pentru nivelele cele mai joase ale complexilor  $\text{LnDy}_2@C_{80}$ , cu doua seturi de baza (6-31G si 6-31G\*) pe fragmentul fulerenic. Cele sapte nivele ale cazului  $\text{Ln}=\text{Tb}$  corespund scindarii LF ale multipletului  $^7F$  si cele unsprezece stari pentru cazul  $\text{Ln}=\text{Dy}$  sunt relationate cu termenul  $^6H$ .

Ln	Tb 6-31G	Tb 6-31G*	Dy 6-31G	Dy 6-31G*
Set de baza C				
1	0.0	0.0	0.0	0.0
2	91.5	85.7	2.0	1.8
3	454.5	467.4	787.4	797.6
4	508.1	520.0	792.2	801.8
5	1219.1	1260.1	919.3	952.7
6	1239.4	1263.7	978.1	1007.6
7	1285.9	1306.1	1113.3	1147.2
8			1138.5	1172.2
9			1242.1	1269.5
10			1350.9	1378.0
11			1363.9	1388.4

Modelarea completa de cimp al liganzilor se face prin analiza analiza matricii Hamiltoniene ab initio CASSCF, prin fitarea la Hamiltonianul fenomenologic LF, în forma sa clasică:

$$\hat{H}_{LF} = \sum_{k=2,4,6} \sum_{q>0}^k \sqrt{\frac{4\pi}{2k+1}} [B_q^k (Y_{k,q} + (-1)^q Y_{k,-q}) + i B_{-q}^k (Y_{k,-q} - (-1)^q Y_{k,q})] + \sum_{k=2,4,6} \sqrt{\frac{4\pi}{2k+1}} B_0^k Y_{k,0} . \quad (2)$$

Deoarece definitia parametrilor  $B_q^k$  poate varia dupa conventii particulare (e.g. parametrizarea Wybourne)<sup>19</sup> ii convertim in asa numitii parametri Stevens normalizati,  $A_{k,q} \langle r^k \rangle$ <sup>[20]</sup>:

$$B_q^k = \lambda_{k,q} A_{k,q} \langle r^k \rangle , \quad (3)$$

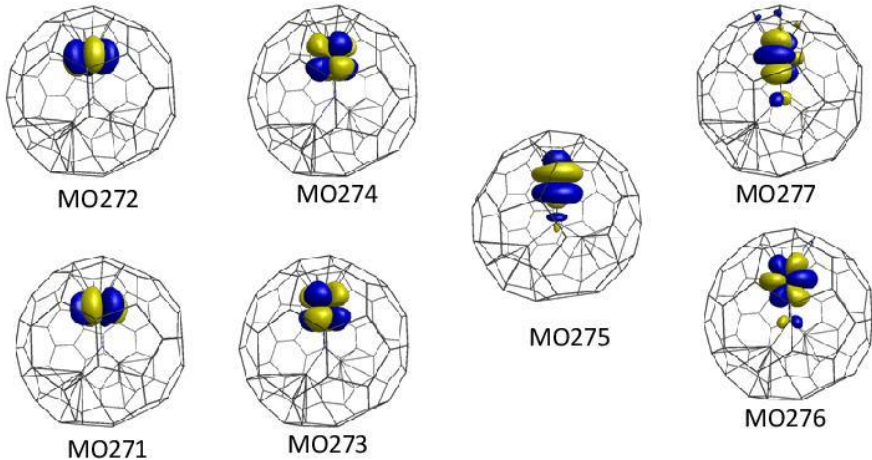
prin rescalarea cu factorii  $\lambda_{kq}$  (gasiti in Tabelul 2.2. in monografia lui Newman).<sup>21</sup>

Date prelucrate din blocurile hamiltoniene ab initio (cu dimensiune  $7 \times 7$  în cazul terbiului, corespunzătoare termenului  $^7F$ , și  $21 \times 21$  pentru disprosiu, conținind termenii  $^6H$  si  $^6F$ ) fitate la expresiile analitice ale matricilor LF sint prezentate in Tabelul 2.

**Tabel 2.** Parametrii  $A_{k,q} \langle r^k \rangle$  (in  $\text{cm}^{-1}$ ) rezultati din analiza LF a datelor a ab initio computed pentru  $\text{LnSc}_2\text{NC}_{80}$  ( $\text{Ln}=\text{Tb, Dy}$ ).

Ln Basis set on C	Tb 631-G	Tb 631-G*	Dy 631-G	Dy 631-G*
$A_{2,-2} \langle r^2 \rangle$	-40.5	-45.2	0.0	0.0
$A_{2,0} \langle r^2 \rangle$	1065.0	1095.1	1321.0	1346.0
$A_{2,2} \langle r^2 \rangle$	-164.4	-126.1	-148.1	-149.9
$A_{4,-4} \langle r^4 \rangle$	-38.5	-45.0	0.0	0.0
$A_{4,-2} \langle r^4 \rangle$	7.5	11.1	-0.9	-1.3
$A_{4,0} \langle r^4 \rangle$	86.3	90.1	88.8	91.8
$A_{4,2} \langle r^4 \rangle$	-18.9	11.7	12.0	14.0
$A_{4,4} \langle r^4 \rangle$	25.0	22.9	19.8	17.9
$A_{6,-6} \langle r^6 \rangle$	123.3	114.4	112.3	103.2
$A_{6,-4} \langle r^6 \rangle$	78.9	87.8	83.1	81.0
$A_{6,-2} \langle r^6 \rangle$	-31.4	-29.1	-38.9	-37.8
$A_{6,0} \langle r^6 \rangle$	-46.2	-44.1	-46.1	-43.7
$A_{6,2} \langle r^6 \rangle$	96.6	106.5	109.4	108.4
$A_{6,4} \langle r^6 \rangle$	-48.4	-44.0	-41.4	-40.5
$A_{6,6} \langle r^6 \rangle$	19.4	17.9	16.4	14.9

Este interesant de inspectat orbitalele canonice ale moleculei  $DySc_2@C_{80}$ . Forma și ordinea este similară pentru congenerul de terbiu, aspectul calitativ fiind, de asemenea, independent de setul de bază. Se observă că formele MO sunt similare orbitelor f pure, în definiția simetrie axială ordonarea aproximativa fiind  $\{xyz, z(x^2-y^2)\}, \{x(x^2-3y^2), y(3x^2-y^2)\}, z^3, \{xz^2, yz^2\}$ .

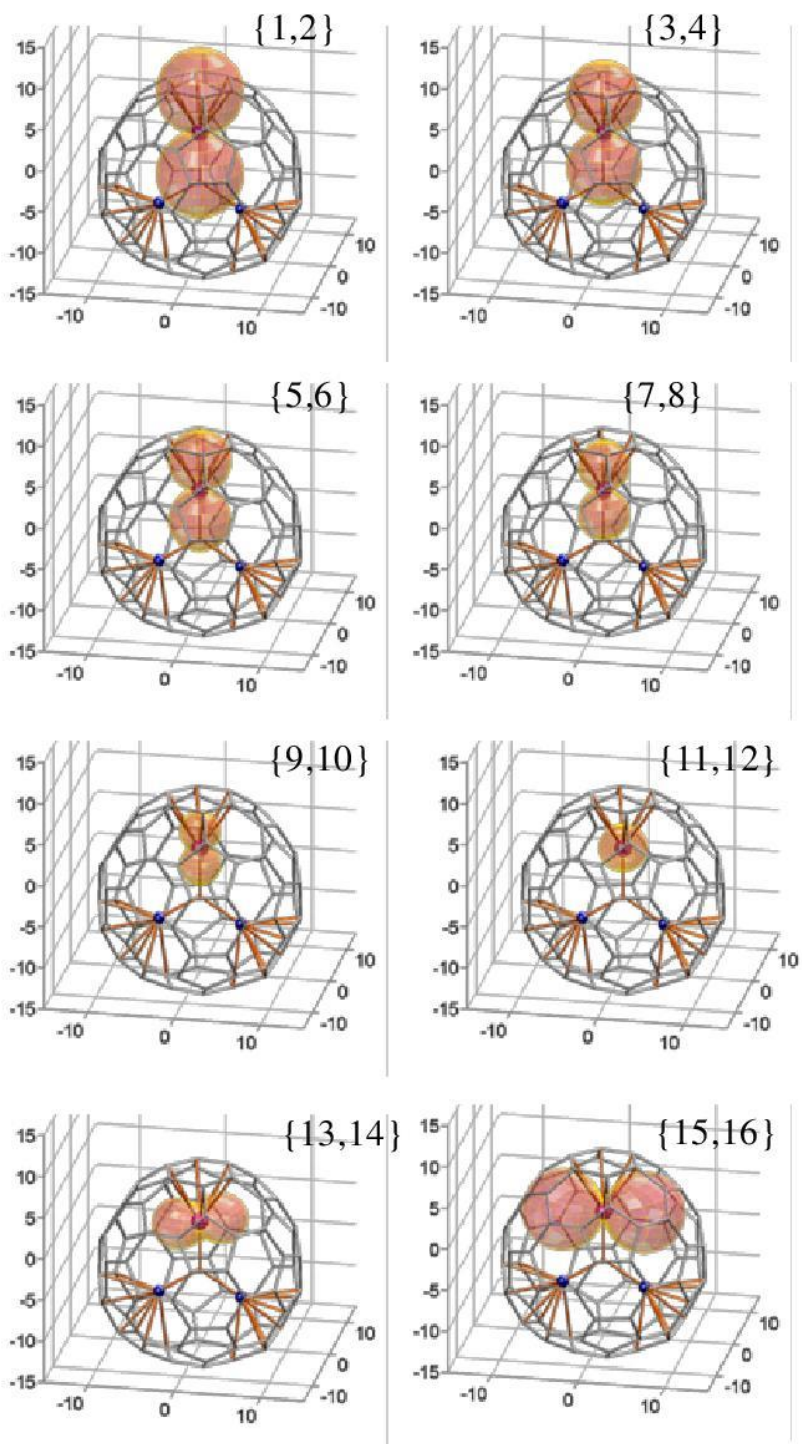


**Sinopsis 3.** Orbitalii moleculari canonici proveniti dintr-un calcul CASSCF(7,9) pentru sistemul  $DySc_2@C_{80}$ . Etichetele corespund numarului de ordine din lista de orbital moleculari.

Ne vom concentra din nou atenția asupra sistemului  $DySc_2NC_{80}$ . Un mod foarte sugestiv de a discuta problema anizotropiei, constă în generarea hărților polare ale derivatelor valorilor proprii ale Hamiltonianului ab initio CASSCF-SO in raport de cimpul magnetic:

$$M_i(\theta, \varphi) = -(dE_i / dB)_{\theta, \varphi} \quad (4)$$

numite magnetizare specifică de stare. Magnetizarea macroscopică este o statistică pe astfel de componente. Hărțile polare pentru starile ale sistemului discutat sunt reprezentate în Sinopsis 4. Extensiile maxime ale lobiilor magnetizare pentru cupluri de stări de la {1, 2} la {9, 10}, corespund respectiv valorilor {9.95, 8.52, 7.20, 5.88, 4.36}  $\mu_B$ . Aceste mărimi sunt aproape de seria {10.00, 8.67, 7.33, 6.00, 4.67}  $\mu_B$  obținută cu estimarea ideală  $g_J = 4/3$  și proiecțiile  $J_z = \{\pm 15/2, \pm 13/2, \pm 11/2, \pm 9/2, \pm 7/2\}$ . Un rezultat nebalanț este că anizotropia nivelelor mai înalte se abate de la modelul axial și arată lobi aproximativ plasati în planul  $Sc_2N$ . În cazul starilor superioare,  $J_z$  nu mai este un bun număr cuantic, hărțile polare de magnetizare fiind orientate catre alte axe (x, în planul  $xz$ ).



**Sinopsis 4.** Hărți polare ale funcțiilor de magnetizare specifice de stare pentru componente scindate LF ale multipletului  $J = 15/2$ , rezultate din calcule ab initio. Cadrul 3D în fiecare panou corespunde componentelor  $M_x, M_y, M_z$  ale magnetizării (de la  $-15\mu_B$  la  $+15\mu_B$  pe fiecare axă).

## Interactii non-covalente de spin in sisteme cu ioni encapsulati endoedric.

*Structura electronica, magnetism si cuplaj de spin in  $\text{Ln}_2@\text{C}_{80}$  si sisteme relateionate  $\text{Ln}_2@\text{C}_{79}\text{N}$ . Calcule si interpretari. Predictia proprietatilor optice si magnetice.*

Un preambul metodologic pregaritor abordarii sistemelor endoedrice metalo-fullerenice a constat in elaborararea unui model de cimp al liganzilor extins la mai multe straturi electronice. Aceasta metoda, publicata recent,<sup>1</sup> este schitata in Sinopsis 5. Dezvoltarea este necesara, conceptual si tehnic, pentru a descrie inconjurările cu deformatie polară ridicata resimtite de ionii metalici encapsulati asimetric.

Metodele traditionale de cimp al liganzilor sunt consacrate pentru un singur strat, fie de tip d pentru complexii ai ionilor metalici de tranzitie,<sup>22</sup> ori de tip f, pentru sisteme lantanidice.<sup>23</sup> In fiecare situatie descrierea este tacit afectata de asa-numitul efect de holohedrizare.<sup>24</sup>

$V_{L^F}(1f)$	$V_{L^F}(4f, 5d)$	$V_{L^F}(4f, 5d)$	$V_{L^F}(5d)$	$V_{L^F}(1f)$	$V_{L^F}(4f, 5d)$	$V_{L^F}(4f, 5d)$	$V_{L^F}(5d)$

$$V_{L^F}(4f) = \sum_{k=0,2,4,6} \sum_{q=-k}^k B_q^k(4f) C_q^{(k)} \quad \langle 3, \mu | V_{L^F} | 3, \nu \rangle = \sum_{k=1}^{\text{ligandi}} \sum_{\lambda=\sigma,\pi} D_{\mu\lambda}^{4f}(k) D_{\nu\lambda}^{4f}(k) e_{\lambda,k}(f)$$

$$V_{L^F}(1f, 5d) = \sum_{k=1,3,5} \sum_{q=-k}^k B_q^k(1f, 5d) C_q^{(k)} \quad \langle 3, \mu | V_{L^F} | 2, \nu \rangle = \sum_{k=1}^{\text{ligandi}} \sum_{\lambda=\sigma,\pi} D_{\mu\lambda}^{4f}(k) D_{\nu\lambda}^{5d}(k) e_{\lambda,k}(fd)$$

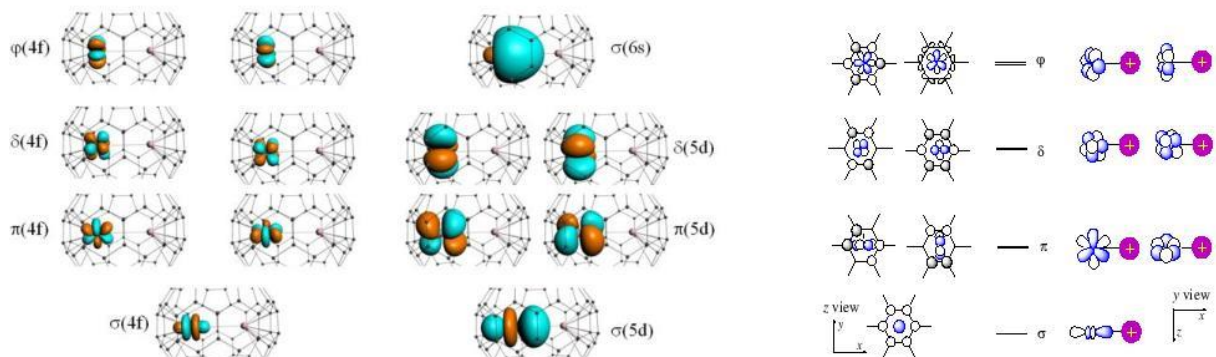
$$V_{L^F}(5d) = \sum_{k=0,2,4} \sum_{q=-k}^k B_q^k(5d) C_q^{(k)} \quad \langle 2, \mu | V_{L^F} | 2, \nu \rangle = \sum_{k=1}^{\text{ligandi}} \sum_{\lambda=\sigma,\pi} D_{\mu\lambda}^{5d}(k) D_{\nu\lambda}^{5d}(k) e_{\lambda,k}(d)$$

**Sinopsis 5.** Reprezentarea schematica a matricii de cimp al liganzilor corespunzatoare modelului extins dublu-strat cu baza orbitala 4f si 5d .

Anume, oricare ar fi simetria de inversie a unui set orbital dat, para sau impara, (de exemplu, cu eticheta g pentru strat d, ori de simetrie u pentru f, respectiv), blocurile dd sau ff de Hamiltonian vor reprezenta doar simetrii de perturbare de tip g, din cauza evidenta a normelor de multiplicare:  $g \times g = g$ ,  $u \times u = g$ . In lucrarea publicata in tematica etapei anterioare,<sup>25</sup> dedicata sistemului  $\text{DySc}_2\text{N}@\text{C}_{80}$ , ca prototip de Magnet Mono Ionic (Single Ion Magnets -SIM) fulerenic, am evidentiat limitarile impuse de efectul de holohedrizare atunci cind se ia in considerare doar cimpul liganzilor in stratul f. Ca atare, modelul expus in Sinopsis 5 -si dezvoltat in mod corroborat obiectivelor etapei- este necesar pentru depasirea acestor limitari.

Calcule aplicate pe sisteme<sup>26</sup>  $\text{Gd}_2@\text{C}_{80}$  si  $\text{Gd}_2@\text{C}_{79}$  au folosit metoda densitatii proximale inghetate (Frozen Density Embedding) ce construieste o perturbare consistenta cu sensul teoriilor

de cimp al liganzilor. Rezultatele sunt ilustrate in Sinopsis 6, prin orbitalii Kohn-Sham corespunzatori si cu reprezentarea calitativa schema de interactie pentru un centru metalic, in vecinatatea companionului sau din dimer, in fullerena.



**Sinopsis 6.** Orbitale de tip Frozen Density Embedding (FDE) pentru un centru Gd(III), in  $\text{Gd}_2\text{C}_{80}$  si  $\text{Gd}_2\text{C}_{79}\text{N}$  (panel stanga) si schema calitativa a interactiei (panel dreapta).

Considerind fitarea la modelul extins de cimp al liganzilor, vom lua energiile orbitale relative (exprimate in numerede unda):  $\epsilon(4f)= \{0, 137.1, 161.3, 467.8, 484.0, 903.4, 927.6\} \text{ cm}^{-1}$ ,  $\epsilon(5d)=\{82870.1, 90153.7, 90387.6, 93565.6, 93654.3\} \text{cm}^{-1}$  si  $\epsilon(6s)= 103519.0 \text{ cm}^{-1}$ . Pentru suita f se observa clar seria cu orbital non-degenerat drept cel mai scazut nivel, urmata de cupluri evasi-degenerate, approximate de secventa  $\sigma < \pi < \delta < \varphi$ . O regularitate similara,  $\sigma < \pi < \delta$ , se observa si pentru seria d : 0, 7283.6 , 7517.5 , 10695.5 , 10784.2  $\text{cm}^{-1}$ . Se observa spatierea, in ordinul a sute de  $\text{cm}^{-1}$ , pentru setul f, in timp ce stratul d arata o apertura totala de aproximativ de  $10^4 \text{ cm}^{-1}$ , in concordanța cu asteptarile generale in privinta magnitudinii interactiei. Cu matricea corespunzatoare vectorilor proprii, energiile sunt transformate intr-o matrice luata in baza orbitalelor atomice efective f, d si s. Parametrii de cimp al liganzilor fitati pentru  $\text{Gd}_2@\text{C}_{79}\text{N}$  sistem sunt prezentati in Tabelul 3

Izomerul icosaedric al  $\text{C}_{80}$  are un set orbital cvadruplu degenerat, ocupat doar cu o pereche de electroni:  $(g_g)^2$ . Aceasta situatie nu este convenabila pentru speciile neutre, degenerarea orbitala implicind instabilitate si distorsiuni. Structura strat inchis  $(g_g)^8$  este realizata pentru ionul hexanegativ  $\text{C}_{80}^{6-}$ , care devine astfel favorabil pentru gazduirea ionilor pozitivi, intregul asamblu fiind dovedit ca stabil.  $\text{C}_{79}\text{N}$  are aceeasi schelet ca si  $\text{C}_{80}$ , dar simetria moleculara este coborit la  $\text{C}_s$ , neavind orbitali degenerati. Cu toate acestea, in situatie de evasi-degenerare, tendinta pentru achizitionarea sarcinii negative se pastreaza, configuratia strat inchis fiind realizata de penta-anionul,  $(\text{C}_{79}\text{N})^{5-}$ . In compusi  $\text{Ln}_2@\text{C}_{79}\text{N}$ , cusca formal incarcata cu sase electroni,  $(\text{C}_{79}\text{N})^{6-}$ , poarta un electron neimperechat.

**Tabelul 3.** Parametrii de cimp al liganzilor fitati la calculele FDE pentru un centru Gd (III) in  $\text{Gd}_2@\text{C}_{79}\text{N}$ . Toate valorile sunt in  $\text{cm}^{-1}$ .

(ab)	(ff)	(dd)	(ss)	(fd)	(fs)	(ds)
$B_0^0(ab)$	454.8	91008.6	99006.0	0.0	0.0	0.0
$B_0^1(ab)$	0.0	0.0	0.0	2937.1	0.0	0.0
$B_0^2(ab)$	-1420.9	-4578.2	0.0	0.0	0	-19096.9
$B_0^3(ab)$	0.0	0.0	0.0	853.7	1401.0	0
$B_0^4(ab)$	-156.6	-8240.9	0.0	0.0	0.0	0.0
$B_0^5(ab)$	0.0	0.0	0.0	-82.2	0.0	0.0
$B_0^6(ab)$	-46.2	0.0	0.0	-82.2	0.0	0.0

Sistemul  $\text{Ln}_2@\text{C}_{79}\text{N}$  poate fi considerat formal ca un trinuclear MXM simetric, cu M corespunzind ionilor Gd(III) ( $S_M = 7/2$ ) si cusaica icosaedrica drept centrul X, cu  $S_X=1/2$ . Sistemul  $\text{Ln}_2@\text{C}_{80}$  este, din punct de vedere magnetic, un dimer genuin, cu fulerena influentind orbitalele magnetice, dar fara a intra in balanta de spin nominala. Pentru  $\text{Ln}_2@\text{C}_{79}\text{N}$ , formulat ca trimer, Hamiltonianul este:

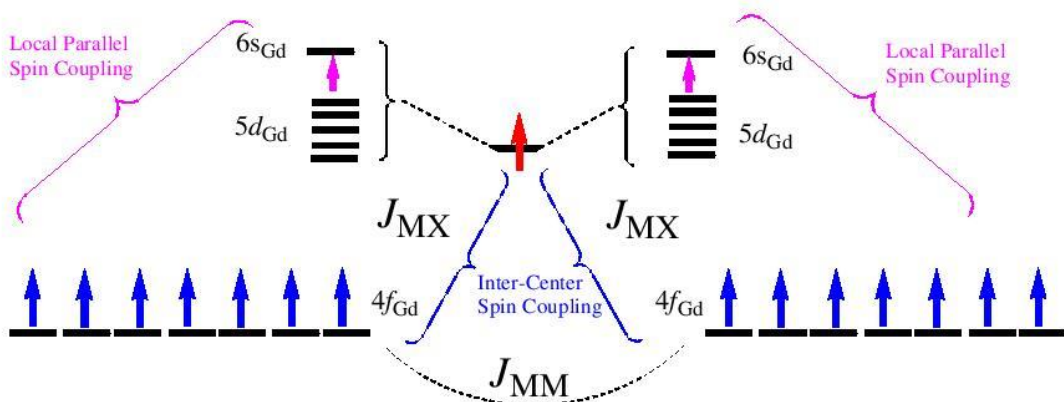
$$\hat{H}_{\text{MXM}} = -2J_{\text{MM}} \hat{S}_{\text{M}(1)} \cdot \hat{S}_{\text{M}(2)} - 2J_{\text{MX}} \hat{S}_X \cdot \hat{S}_{\text{M}(1)} - 2J_{\text{MX}} \hat{S}_X \cdot \hat{S}_{\text{M}(2)} \quad (5)$$

cu energiile:

$$E_{\text{MXM}}(S_{\text{MXM}}, S_{\text{MM}}) = -J_{\text{MX}} S_{\text{MXM}} (S_{\text{MXM}} + 1) + (J_{\text{MX}} - J_{\text{MM}}) S_{\text{MM}} (S_{\text{MM}} + 1). \quad (6)$$

Expoze pe scurt, calculele CASSCF pe  $\text{Gd}_2@\text{C}_{79}\text{N}$  au revelat o stare fundamentala feromagnetica, avind spinul maxim  $S = 15/2$ , spatierile succesive fata de starile  $S = 13/2, 11/2, 9/2$  fiind, respectiv, 407.3, 814.5, 1220.2  $\text{cm}^{-1}$ . Se observa regularitatea spatierii egale a nivelor de energie, sau, cu alte cuvinte, un raport aproximativ 1: 2: 3 al valorilor prezentate. Acest lucru este in conformitate cu predominanta unui parametru  $J_{\text{MX}}$  cu valoare mare, fata de un cuplaj  $J_{\text{MM}}$  mic. Mai exact, starile prezentate sunt concordante cu urmatoarele expresii analitice:  $E_{\text{MXM}}(15/2, 7) = 0$ ,  $E_{\text{MXM}}(13/2, 6) = J_{\text{MX}} + 14J_{\text{MM}}$ ,  $E_{\text{MXM}}(11/2, 6) = 2J_{\text{MX}} + 26J_{\text{MM}}$ ,  $E_{\text{MXM}}(9/2, 6) = 3J_{\text{MX}} + 36J_{\text{MM}}$ .

Secventa prezentata ilustreaza, in mod clar, modelul de schimb bazat pe o valoare  $J_{MX}$  mare a cuplajului feromagnetic, valorile fitate fiind :  $J_{MX} = 407.11 \text{ cm}^{-1}$  si  $J_{MM} = 0.011 \text{ cm}^{-1}$ . Calculul pe sistemul  $\text{Gd}_2@\text{C}_{80}$ , avind regim de dimer, a condus la valoarea  $J_{MM} = 0.027 \text{ cm}^{-1}$ , anume o cuplare feromagnetica slaba, comparabila cu cea gasita in cazul  $\text{Gd}_2@\text{C}_{79}\text{N}$ . Mecanismul de interactie in  $\text{Gd}_2@\text{C}_{79}\text{N}$  este reprezentat, in mod simplificat, in Schema 2. Fractiunea de o jumitate de electron de tip 5d atribuita fiecarui miez  $\text{Gd}$  (III) isi aliniaza spinul paralel cu cei sapte electroni neimperecheati din stratul f. Acest efect face ca electronul plasat in orbitala superioara de tip 5d sa se coupleze efectiv feromagnetic cu ambele centre de lantanide.



Schema 2.

In cele ce urmeaza, vom trece la analiza in termenii asa-numitei metode Broken Symmetry Density Functional Theory (BS-DFT).<sup>27</sup> Dupa cum este bine cunoscut, DFT este o metoda mono-determinant, in timp ce starile magnetice sint, in general, obiecte multiconfigurationale. Cu toate acestea, DFT poate aborda magnetismul molecular prin experimente numerice corespunzatoare, starile Broken Symmetry (BS) neavand o realitate fizica, dar fiind adaptate corespunzator spre a dezvalui informatii cu privire la parametrii cuplajului de spin. In mod simplist, starile BS sint interpretabile cu Hamiltonianul de tip Ising. Pentru a depasi acest nivel, am conceput schema fenomenologica descrisa in continuare. Astfel, se poate concepe valoarea asteptare (expectation value) a produsului scalar ca parametru ce intra cu semn plus sau minus,  $\pm |\langle \hat{S}_A \cdot \hat{S}_B \rangle|$ , in formularea valorii medii de stare a Hamiltonianul de spin, in functie de polaritatile de spin, identice respectiv inverse, de pe centrele A si B. Pentru formularea ca trimer MXM a di-lantanido-heterofulerenei exista trei configuratii BS distincte:  $\Omega(\text{HS})=\text{M}(1)^+\text{X}^+\text{M}(2)^+$ ,  $\Omega(\text{BS1})=\text{M}(1)^+\text{X}^-\text{M}(2)^+$ , si  $\Omega(\text{BS2})=\text{M}(1)^+\text{X}^+\text{M}(2)^-$ . Valoarea de asteptare pentru o configuratie  $\Omega$  de tip BS este :

$$\langle \Omega | \hat{H}_{\text{MM}} | \Omega \rangle = E_0 - 2\sigma_{M(1)}^{\Omega} \sigma_{M(2)}^{\Omega} J_{\text{MM}} \left| \langle \hat{S}_{M(1)} \cdot \hat{S}_{M(2)} \rangle \right| - 2\sigma_x^{\Omega} \sigma_{M(1)}^{\Omega} J_{\text{MX}} \left| \langle \hat{S}_x \cdot \hat{S}_M \rangle \right| - 2\sigma_x^{\Omega} \sigma_{M(2)}^{\Omega} J_{\text{MX}} \left| \langle \hat{S}_x \cdot \hat{S}_M \rangle \right| , \quad (7)$$

unde  $\sigma$  sunt coeficienti  $\pm 1$  marcind situatia de spin sus sau jos pe centrul respectiv, in configuratia data. In configuratia HS, avem toti coeficientii egali cu unitatea:  $\sigma_{M(1)}^{\text{HS}} = 1$ ,  $\sigma_x^{\text{HS}} = 1$ ,  $\sigma_{M(2)}^{\text{HS}} = 1$ . Pentru configuratia BS1, spinul pe subsistemul X este inversat, avind:  $\sigma_{M(1)}^{\text{BS1}} = 1$ ,  $\sigma_x^{\text{BS1}} = -1$ ,  $\sigma_{M(2)}^{\text{BS1}} = 1$ . Cazul BS2 inverseaza spinul pe al doilea ion metalic :  $\sigma_{M(1)}^{\text{BS2}} = 1$ ,  $\sigma_x^{\text{BS2}} = 1$ ,  $\sigma_{M(2)}^{\text{BS2}} = -1$ . Este suficient sa se ia in considerare diferentele relative, de exemplu, fata de configuratia HS. In acest caz, energiile BS relative in trimer sunt:

$$\Delta E_{\text{BS1}} = E_{\text{BS1}} - E_{\text{HS}} = 8J_{\text{MX}} \left| \langle \hat{S}_x \cdot \hat{S}_M \rangle \right| , \quad (8a)$$

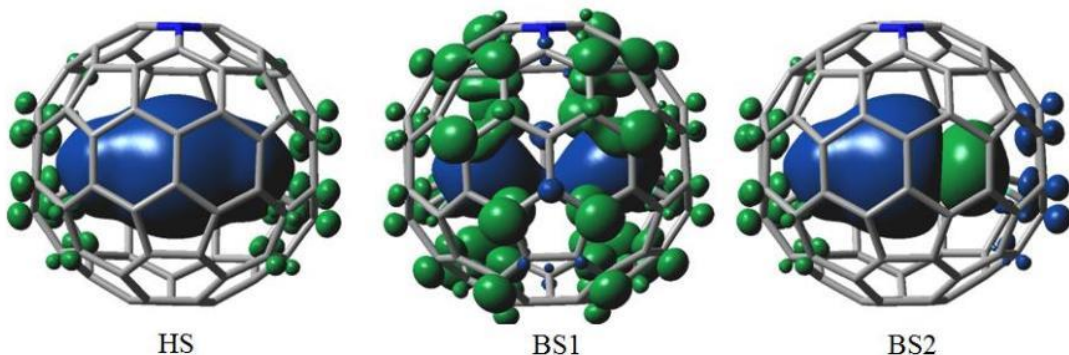
$$\Delta E_{\text{BS2}} = E_{\text{BS2}} - E_{\text{HS}} = 4J_{\text{MM}} \left| \langle \hat{S}_{M(1)} \cdot \hat{S}_{M(2)} \rangle \right| + 4J_{\text{MX}} \left| \langle \hat{S}_x \cdot \hat{S}_M \rangle \right| . \quad (8b)$$

In similitudine cu tratamentul energiei, diferentele relative ale valorilor medii ale operatorului de spin la patrat sunt:

$$\Delta \langle S^2 \rangle_{\text{BS1}} = -8 \left| \langle \hat{S}_x \cdot \hat{S}_M \rangle \right| , \quad (9a)$$

$$\Delta \langle S^2 \rangle_{\text{BS2}} = -4 \left| \langle \hat{S}_{M(1)} \cdot \hat{S}_{M(2)} \rangle \right| - 4 \left| \langle \hat{S}_x \cdot \hat{S}_M \rangle \right| . \quad (9b)$$

Tratamentul BS-DFT cu functionala BP86 produce urmatoarele energii relative:  $\Delta E_{\text{BS1}} = 6113.24 \text{ cm}^{-1}$  and  $\Delta E_{\text{BS2}} = 1927.64 \text{ cm}^{-1}$ . Calculul DFT nerestricriv produce valoarile asteptare pentru  $\langle S^2 \rangle$ , care, pentru HS, BS1 si BS2 sunt  $63.82$ ,  $49.79$ ,  $7.8 \text{ cm}^{-1}$ , respectiv. Diferentele  $-14.93$  si  $-56.33$  corespund ecuatiilor (5a) si (5b), determinind parametrii  $|\langle \hat{S}_x \cdot \hat{S}_M \rangle| = 1.87$  si  $|\langle \hat{S}_{M(1)} \cdot \hat{S}_{M(2)} \rangle| = 12.22$ . Fitarea produce urmatorii parametri de cuplaj schimb:  $J_{\text{MX}} = 409.60 \text{ cm}^{-1}$  si  $J_{\text{MM}} = -23.11 \text{ cm}^{-1}$ . Potrivirea  $J_{\text{MX}}$  din datele calculelor CASSCF cu valoarea prezentata in varianta BS-DFT este remarcabila. Estimarea  $J_{\text{MM}}$  este diferita, dar neimportanta, data fiind valoarea absoluta mica. Sinopsisul 7 prezinta hartile de densitate de spin ale calculelor discutate, confirmind natura Broken Symmetry a sistemelor BS1 si BS2.



**Sinopsis 7.** Polarizarile de spin in configuratiile Broken Symmetry generate pentru  $\text{Gd}_2@\text{C}_{79}\text{N}$

Informatiile pentru estimarea experimentala a acestor parametri sunt foarte limitate,<sup>26</sup> date fiind cantitatile infime de proba ce pot fi produse. Pentru a calibra metodologia, verificind capacitatea sa de a prezice date realiste, alte doua lucrari au fost produse ca preambul relationat cu acest obiectiv.<sup>28,29</sup>

Investigarea metalofulerenelor a fost adincita prin studii de dihotomizare a componentelor energiei de legatura. Dimerul  $(\text{Gd}_2)^{6+}$  este, cum e de asteptat, instabil, cu energie pozitiva de asociere, 0.4906 Hartree. Partea electrostatica, 1.2390 Hartree, este foarte aproape de estimarea cu sarcini punctuale, plasate la distanta internucleara 3.844 Å. Repulsia Pauli este foarte mica, aproximativ 0.0002 Hartree, in conformitate cu faptul ca, in lantanide, densitatea electronica este rigida, contrasa in jurul nucleelor, cu tendinta mica de interactiuni la distanta, cu exceptia efectelor ionice. Cu toate acestea, in mod surprinzator, stabilizarea orbitala este relativ mare, aproximativ -0.7486 Hartree. Stabilizarea poate fi atribuita mai degrabă unor efecte de polarizare localizate pe fragmentele atomice, decit suprapunerii directe a orbitalilor de tip f. Molecula  $\text{Gd}_2@\text{C}_{80}$  formata din doua fragmente  $\text{Gd}^{3+}$  și clusterul  $\text{C}_{80}^{6-}$  negativ, are o stabilizare netă de -4.7976 Hartree. Repulsia Pauli este 0.4627 Hartree, venind într-regim din interferența miezurilor ionice ale lantanidelor cu peretii interiori ai clusterului. Stabilizarea orbitala, -3.1043 Hartree, se datorează unei covalente slabe, stabilită cu fulerenă de către fiecare ion lantanidic.

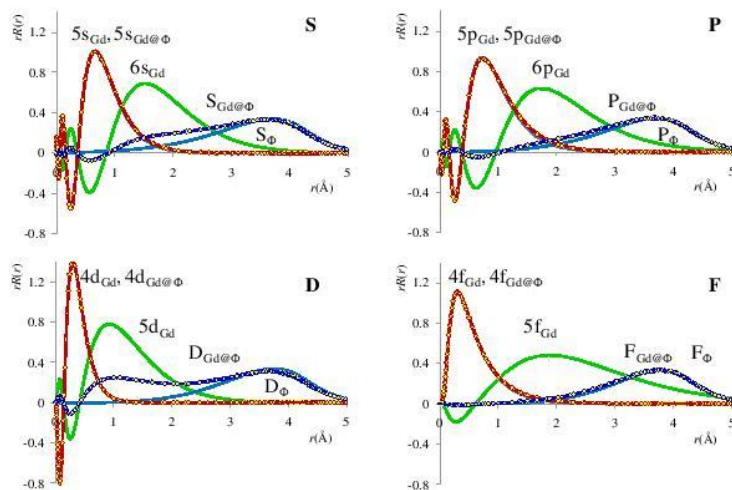
Aceasta metodologie de analiza a fost discutata in regim de review intr-un capitol in curs de publicare in seria Structure and Bonding.<sup>30</sup>

## Efecte dinamice si deformare a densitatii in $\text{Ln}@\text{C}_{80}$ si in raport de fragmentele componente.

O alta cale de a pune in evidenta dinamica efectelor de legatura in formarea complexelor metalo-endoedrici a presupus un model idealizat de atom-in-sfera, cu functiile de unda rezolvate pe calea alternativa a ecuatiilor diferențiale, abordate numeric, intr-un Hamiltonian bazat pe aproximatia densitatii locale si simetria sferica a problemei. Cheia consta in inlocuirea operatorului diferential din partea cinetica printr-o diferenta finita, care conduce la un sistem cu matrici tridiagonale, avind liniile definite dupa cum urmeaza:

$$\left( \frac{-1}{(r_{k+1} - r_{k-1})(r_k - r_{k-1})}, \frac{1}{(r_{k+1} - r_k)(r_k - r_{k-1})} + V(r_k) + \frac{1}{2} \frac{l(l+1)}{r_k^2}, \frac{-1}{(r_{k+1} - r_{k-1})(r_{k+1} - r_k)} \right) \begin{pmatrix} r_{k-1} R_{k-1} \\ r_k R_k \\ r_{k+1} R_{k+1} \end{pmatrix} = E_l \cdot (r_k R_k) \quad (10)$$

Aceasta poate fi formulata ca o problema de valori proprii, care duce direct la functia radiala  $R$ . In Sinopsis 8, seria de figuri arata ca ultimele orbitale ocupate ale lantanidului ( $5s_{\text{Gd}}$ ,  $5p_{\text{Gd}}$ ,  $4d_{\text{Gd}}$ ,  $4f_{\text{Gd}}$ ) reprezentate prin linie continua, sunt practical superpozabile punctelor reprezentind functia de unda corespunzatoare in complexul  $\text{Gd}@\Phi$  ( $5s_{\text{Gd}}$ ,  $5p_{\text{Gd}@\Phi}$ ,  $4d_{\text{Gd}@\Phi}$ ,  $4f_{\text{Gd}@\Phi}$ ). Functiile virtuale prime ale ionului lantanidic ( $6s_{\text{Gd}}$ ,  $6p_{\text{Gd}}$ ,  $5d_{\text{Gd}}$ ,  $5f_{\text{Gd}}$ ) sunt trasate cu linie verde.



**Sinopsis 8.** Comparatie a deformatiei de interactie ale partilor radiale ale componentelor lantanid si sfera de inclusiune, pe diverse canale de simetrie orbitala.

Ansamblul  $\text{Gd}@\Phi$  prezinta o serie de functii ocupate cu electroni proveniti formal din cusca sferica, avind aspectul de hibrizi intre functia de pe sfera goala si virtualele corespunzatoare de pe lantanid. Aceasta tendinta este mai pronuntata in cazul orbitalelor d, sustinind ideea rolului esential al acestora in mecanismul de legatura al complexelor endoedrici ai lantanidelor.

## **Interactii non-covalente in chimia si fizica ansamblurilor supra-moleculare de tipul encapsularii endoedrice.**

*Interactii non-covalente, aromaticitate si manifestari spectrale dinamice in sisteme endoedrice gaz nobil-fulerene Ng@C<sub>60</sub> (Ng=Ar, Kr).*

Teoria funcționalului densitatii (Density Functional Theory, DFT) este, indiscutabil, cea mai populara abordare a structurii electronice a materiei, de la molecule la sistemele starii solide, revoluția facilităților de calcul, hardware și software, continuu ascendentă în ultimele două decenii, deschizând cai pentru multe aplicații practice în chimie și fizică. Mai multe pleiade de aproximări pentru ingredientul cheie al teoriei, funcționalul de schimb și corelație, au identificat retete optime pentru punerea în practică a elementelor conceptuale ale teoremei Hohenberg-Kohn<sup>31</sup> și algoritmului Kohn-Sham.<sup>32</sup>

Un dezavantaj practic al DFT-ului este comportamentul greșit la distanța al celor mai multe functionale genuine, fapt care afectează estimarea forțelor intermoleculare.<sup>33,34</sup> Limitarea nu aparține nivelului conceptual al DFT, ci aproximărilor practice. Având în vedere interesul actual pentru chimia supramoleculară și materiale ori dispozitivele la scară nano, limitarea menționată pare o umbra serioasă pe teritoriul DFT, încercările de a rezolva aceasta problema crescînd remarcabil în ultimii ani. Astfel, pe lîngă un mare ‘zoo’ de functionale deja existente, au apărut mai multe variante cu scopul de a atenua devierile în interacțiunea la distanță. Un traseu metodologic constă în impunerea unei amortizări în variația funcționalei la distanță mare față de nucleele atomice, astfel încît alura corectă,  $1/r$ , dorit este atinsă în domeniul responsabil de interacțiunea intermoleculară. Mai mulți autori și grupuri (Savin,<sup>35</sup> Tsuneda și Hirao<sup>36,37</sup>) au contribuit la această ramură a teoriei precum și la implementarea în coduri de calcul. Această abordare are avantajul de a avea la bază principii fundamentale. În același timp, având în vedere efectele subtile care acționează în domeniul energiilor mici de interacție, ne putem întreba dacă mecanismele necesare pentru a explica fortele de tip van der Waals sunt într-adevăr incluse în functionale existente, chiar și după modificarea tendințelor asymptotice greșite. O altă abordare, un stil de taiere a nodului Gordian constă în adăugarea forțătă de termeni de dispersie, a posteriori unui calcul DFT, cum este cazul seriei Grimme de parametrizări.<sup>38</sup> Aceasta ar trebui, în principiu, să înlocuiască consecințele erorilor la distanță și, în plus, să asigure că un comportament van der Waals este introdus în spațiul intermolecular. Dezavantajul acestei abordări este aspectul său empiric, în ciuda faptului că parametrii interatomici necesari sunt construiți pe datele distribuției de sarcină atomică, calculate ab-initio

Amendamentele existente ale comportamentului la distanță și inclusivă termenilor de dispersie au rezultat după lungi și consistente dezbateri și evaluările unor teste de calcul pe interacții

intermolecularare prototipice diferite. Noi propunem aici un nou test particular, considerînd fulerenele endohedrale cu un gaz nobil în centrul de simetrie,  $\text{Ng@C}_{60}$ , unde Ng reprezinta atomii de Ar si Kr. Aceasta alegere supune evaluarea interactiei van der Waals la un test ferm, diferit de cele curente. In primul rînd, sînt multe interactiuni vdW de contabilizat, in speță 60 de contacte intre atomi de gaz si atomi de carbon, numarul relativ mare mare de interactiuni asigurînd o rezolutie buna a efectului, in aspecte numerice. Pe cealalta parte, incercarea de a evalua potentialul interactiunii intr-o maniera standard, scanînd distanta intre moleculele care interactioneaza se loveste de o severa problema tehnica. Astfel, pentru a se analiza dependenta distantei celor 60 de contacte Ng-C, se forteaza si modificarea a 30 de legaturi duble C=C si 60 de legaturi simple C-C, ale caror energii covalente depasesc aproximativ cu sase ordine de magnitudine contributia non-covalenta. In situatiile normale ale calculelor energetice van der Waals, componenele în miscare sînt moleculele ale caror structura interna nu se schimba in procesul de ajustare a distantelor intermoleculare, cum ar fi ascocierile de legaturi slabe diatomice Ar-Ar sau complexi prototipici precum Ar-C<sub>6</sub>H<sub>6</sub> si C<sub>6</sub>H<sub>6</sub>. Energiile molecularare ale moleculelor de marime medie sînt plasate in ordinul  $10^2\text{-}10^3$  Hartree, in timp ce interactiunile van der Waals sînt la o scara de  $10^{-3}$  Hartree. Cînd partea energetica moleculara in sine este puternic afectata de scanarea destinata verificarii efectelor van der Waals, ca in cazul variatiei razei C<sub>60</sub> în Ar@C<sub>60</sub>, apare un nou tip de problema numerica in evaluarea curburii potentialului van der Waals: obtinerea unei variatii mici ca diferența de cantitati mari de, supuse insele unor variatii puternice. Situatia este oarecum in contrast, e.g. față de exemplul simplu al Ar-C<sub>6</sub>H<sub>6</sub> (luat in geometria piramidală, avand grupul C<sub>6v</sub> ca referinta) unde separarea dintre entitati nu afecteaza drastic structura lor electronica, iar variatia mica este evaluata ca o diferență de cantități mari dar relativ constante. Potentialul Ng-C nu poate fi explorat la pe o plajă amplă a curbei van der Waals, atît timp cît implică disocierea custii C<sub>60</sub>, intrînd in serioase probleme de convergenta și în chestionarea naturii functiei de unda, in sine. Atomii de carbon au stare fundamentala orbital degenerata, de triplet,<sup>3</sup>P, si -pe deasupra -o colectie de atomi care interactioneaza slab, cum se intampla la disocierea custii fulerenice este , in fapt , un sistem evasidegenerat, intalnind situatii care depasesc limitele validitatii DFT, determinate pentru stari fundamentale nedegenerate.

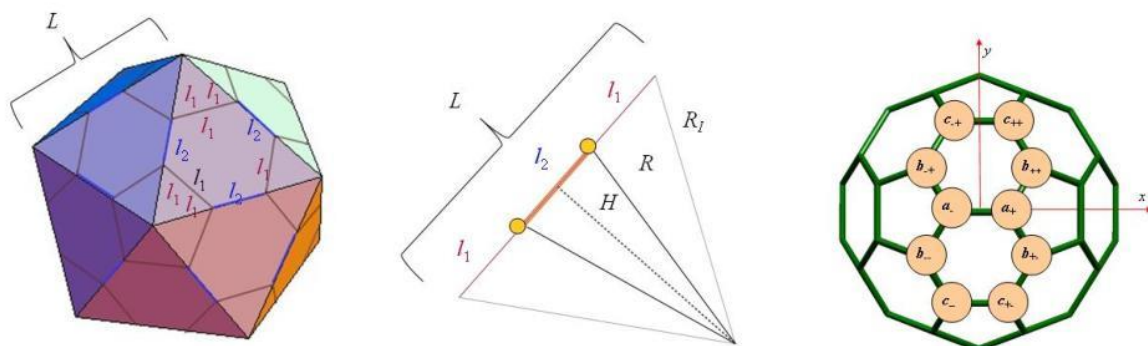
Apare atunci, ca pentru a investiga curba van der Waals, sunt posibile doar variatii infinitezimale de distanțe Ng-C, sau in raza fulerenei endohedrale, linga geometria echilibru. În acest fel, se poate găsi informații despre curbura locală a van der Waals potențialul. Acest fapt aduce ideea de a ne concentra studiul asupra proprietăților vibraționale ale fullerene endohedral, deoarece curbura funcției de potențial energetic este relationata cu constanta forță și cu frecvența pe corespunzătoare a coordonatei de vibratie.

Un preambul util pentru modelarea următoare este definiția geometriei moleculare a C<sub>60</sub>. În acest sens, filiația de la icosaedru este luată în considerare, fulerena rezultând după tăierea virfurilor, producind fețe pentagonale în locul lor. După cum este bine cunoscut, fulerena C<sub>60</sub> poate fi prezentată ca o colecție de douăsprezece pentagoane formal independente. În partea stângă a Sinopsisului 9 se prezintă formarea de hexagoane cu lungimi de ligature alternative l<sub>1</sub> și l<sub>2</sub>, unde l<sub>1</sub> este marginea comună cu pentagonul. Dacă notăm cu L lungimea laturii icosaedrului părinte, se poate observa că avem L = 2l<sub>1</sub>+l<sub>2</sub>. Înălțimea triunghiului cu L ca bază și virful în centrul fulerenei ca top se notează cu H. Coordonatele a noduri care formează o latură în icosaedru pot fi prezentate în scalarea relativă γ: 1: 0 versus γ: -1: 0 a componentelor carteziene (lista completă a celor douăsprezece pozitii rezultând din patru posibilități de a efectua permutări de semn și cele trei moduri de a aplica permutări ciclice ale acestor seturi). De aici, rezulta:

$$\frac{R_I}{L} = \frac{1}{2} \sqrt{1 + \gamma^2} \quad (11.a)$$

$$\frac{H}{L} = \frac{1}{2} \gamma \quad (11.b)$$

Aici, γ este numarul de aur,  $\gamma = (1 + \sqrt{5})/2$ .



**Sinopsis 9.** Partea stângă: obținerea poliedrului C<sub>60</sub> ca trunchiere a virfurilor icosaedrice. Fețele pentagonale au margini cu lungimea l<sub>1</sub>, în timp ce la cele hexagonale alternează lungimile l<sub>1</sub> și l<sub>2</sub>. Partea centrală: secțiunea cuprinzând o latură a icosaedrului, cu lungimea L. Nodurile de poliedrului C<sub>60</sub> sunt marcate cu cercuri intunecate. Partea dreapta: Speciile atomice independente în raport cu subgrupul T<sub>h</sub> cubic. Tipurile atomice corespund etichetelor a, b și c din tabelul 1. Indicii + și - reprezintă schimbarea semnului coordonatelor x și y.

Raza  $R$  pe care sint plasati atomii de carbon este ipotenuza triunghiului cu lungimile marginilor  $H$  și  $l_2/2$ :

$$R = \sqrt{H^2 + \frac{1}{4}l_2^2} = \frac{1}{2}\sqrt{\gamma^2 L^2 + l_2^2} = \frac{1}{2}\sqrt{4\gamma^2 l_1^2 + (1+\gamma^2)l_2^2 + 4\gamma^2 l_1 l_2} \quad (12)$$

Definim parametrul tangential  $\tau$ ,

$$\tau = \frac{l_1}{l_2} - 1, \quad (13)$$

măsurand abaterea raportului lungimilor de legatura de la situația de egalitate a lor. Relația inversă, între parametrii radial și tangențial,  $R$  și  $\tau$  cu lungimile legăturilor carbon-carbon este.

$$l_1 = 2(1 + \tau)f \cdot R, \quad (14.a)$$

$$l_2 = 2f \cdot R, \quad (14.b)$$

implicind factorul  $f$  definit după cum urmează:

$$f = \frac{R}{\sqrt{1 + \gamma^2(3 + 2\tau)^2}}. \quad (15)$$

Expresiile analitice ale coordonatelor carteziene in fulerena sint produse convenabil coborind de la grupul icosaedric  $I_h$  la subgrupul cubic  $T_h$ . Tabelul 4 prezintă trei tipuri atom etichetate a, b și c și coordonatele lor carteziene ca funcție de parametrii radial si tangențial.

**Tabelul 4.** Expresia analitică a coordonatelor cartezienelor independent cu privire la speciile de atomi luate convenabil în grupul cubic  $T_h$ . Tipurile atomice corespund etichetelor  $a$ ,  $b$  și  $c$  din Sinopsis 9. Factorul  $f$  este exprimat în ecuația (15).

Tip	$x$	$y$	$z$
$a$	$f$	0	$(3 + 2\tau) \cdot f$
$b$	$(2 + \tau) \cdot f$	$(1 + \tau) \cdot f \cdot \gamma$	$(1 + 2\gamma + \tau + \gamma\tau) \cdot f$
$c$	$(1 + \tau) \cdot f$	$(2 + \tau) \cdot f \cdot \gamma$	$(2 + \gamma + \tau + \gamma\tau) \cdot f$

Manipularea analitică de coordonate carteziene permite exprimarea celor două vibrații total simetrice coordonatele întâlnite in sistemul  $C_{60}$ . Definirea modurilor constă în derivatele coordonatelor carteziene după parametrii  $R$  și  $\tau$ :

$$q_R^i = \frac{d}{dR} \{x_i, y_i, z_i\}, \quad (16.a)$$

$$q_\tau^i = \frac{d}{d\tau} \{x_i, y_i, z_i\}. \quad (16.b)$$

Modurile rezultate sunt reprezentate în Sinopsis 10.

Energiile de vibrație ale modurilor  $A_g$  se obțin ca soluții ale determinantului:

$$\begin{vmatrix} V_{RR} - M_{RR} \cdot \lambda & V_{R\tau} \\ V_{R\tau} & V_{\tau\tau} - M_{\tau\tau} \cdot \lambda \end{vmatrix} = 0, \quad (17),$$

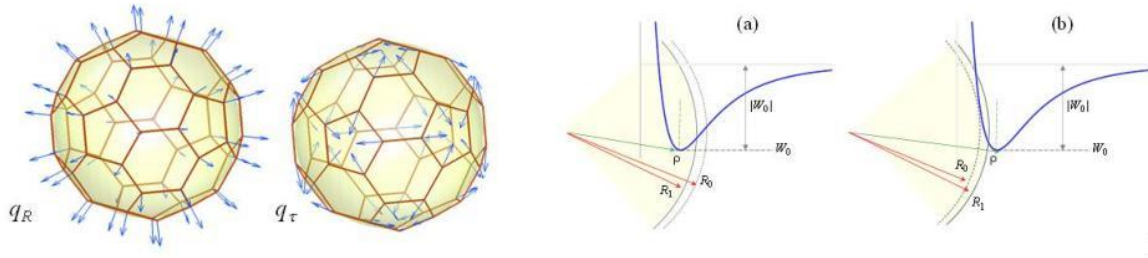
unde

$$V_{RR} = \frac{\partial^2 E}{\partial R^2}, \quad V_{R\tau} = \frac{\partial^2 E}{\partial R \partial \tau}, \quad V_{\tau\tau} = \frac{\partial^2 E}{\partial \tau^2}, \quad (19)$$

sunt constantele de forță și  $M$  masele modurilor de vibrație:

$$M_{RR} = 60m_C, \quad M_{R\tau} = 0, \quad M_{\tau\tau} = \frac{1920(5+2\sqrt{5}+2(7+3\sqrt{5})\tau+2(7+3\sqrt{5})\tau^2)}{(5+\sqrt{5}+4(3+\sqrt{5})\tau+4(3+\sqrt{5})\tau^2)^3} m_C R^2, \quad (20)$$

cu  $m_C$  masa atomului de carbon.



**Sinopsis 10.** Coordonatele vibrației simetrice totale,  $q_R$  și  $q_\tau$ . Schema de geometrie radială și schimbările vibrationale în fulerene endohedrale.

Pentru a extrage parametrii de interacție van der Waals între gazul nobil și pereții interior ai fullerenelor, vom pune în ecuație schimbările mici în raza de echilibru și constantei de forță ale vibrației respirație radiale, atunci când compară fullerena endoedrică cu cea goală.

Exprimam fullerena endohedrică ca suma a potențialului armonic al vibrațiilor radiale (modul de respirație) din fullerena goală, plus interacția van der Waals dintre atomul central și cusca, luată într-un format Lennard-Jones:

$$E(R) = \frac{1}{2} V_{RR}^0 (R - R_o)^2 + W_0 \left( 2 \frac{\rho^6}{R^6} - \frac{\rho^{12}}{R^{12}} \right), \quad (21)$$

unde  $R_0$  este raza de echilibru a fullerenelor,  $\rho$  este poziția de minimum în potențialul Lennard-Jones și  $W_0$  este energia de stabilizare a van der Waals.

Cu atom incorporat, the fullerena atinge o nouă rază de echilibru, exprimată prin anularea primei derivate:

$$\left( \frac{d}{dR} E(R) \right)_{R=R_1} = V_{RR}^0 (R_1 - R_o) - 12W_0 \left( \frac{\rho^6}{R_1^7} - \frac{\rho^{12}}{R_1^{13}} \right) = 0 \quad (22.a)$$

A doua derivată descrie deplasarea constantei de forță a vibratiilor:

$$\left( \frac{d^2}{dR^2} E(R) \right)_{R=R_1} = V_{RR}^1 = V_{RR}^0 + 12W_0 \left( 7 \frac{\rho^6}{R_1^8} - 13 \frac{\rho^{12}}{R_1^{14}} \right) \quad (22.b)$$

Ecuatiile de mai sus contin informația necesară obținerii celor doi parametri Lennard-Jones.

Minimul curbei van der Waals (reprezentat de parametri Lennard-Jones  $\rho$  și  $W_0$ ) este plasat în jurul razei Fullerenei  $R_0$ . Curbura pozitivă a potentialului van der Waals se adaugă la constanta forței radiale a complexului Ng @ C<sub>60</sub>, determinând creșterea frecvenței de vibrație (vezi panourile (a) și (b) din Sinopsis 10 care ilustrează situațiile în scădere sau extindere a razei fullerenei în funcție de conjuncturile  $\rho < R_0$  sau  $\rho > R_0$ .

**Tabelul 5.** Parametrii curbei Lennard-Jones pentru interacția gaz nobil-fulerena, deplasarea vibratiei radiale totale simetrice ( $dv_R(A_g)$  în cm<sup>-1</sup>) și schimbarea razei fullerenei ( $dR$ , în Å, amplificat cu un factor de 1000), în comparație cu vibrația și raza C<sub>60</sub> goală, calculate cu funcționale necorectate cu trepte de dispersie și seturi de baza 6-311G \*.

Metoda	Sistem	$W_0$ kcal/mol	$\rho$ Å	$dv_R(A_g)$ cm <sup>-1</sup>	$dR \cdot 10^3$ Å
HF	Ar@C <sub>60</sub>	45.8	3.100	0.21	2.28
HF	Kr@C <sub>60</sub>	71.8	3.090	0.44	3.57
SVWN	Ar@C <sub>60</sub>	20.6	3.566	-2.48	-0.41
SVWN	Kr@C <sub>60</sub>	29.1	3.506	-2.54	0.15
BP86	Ar@C <sub>60</sub>	30.9	3.477	-1.79	0.85
BP86	Kr@C <sub>60</sub>	54.7	3.446	-2.58	1.92
BLYP	Ar@C <sub>60</sub>	16.6	3.400	-0.47	0.76
BLYP	Kr@C <sub>60</sub>	55.5	3.422	-2.01	2.36
B3LYP	Ar@C <sub>60</sub>	38.3	3.376	-1.22	1.63
B3LYP	Kr@C <sub>60</sub>	57.2	3.398	-2.12	2.25

**Tabelul 6.** Parametrii curbei Lennard-Jones pentru interacția gaz nobil-fulerena, deplasarea vibratiei radiale totale simetrice ( $\text{dv}_R(\text{A}_g)$  în  $\text{cm}^{-1}$ ) și schimbarea razei fulerenei ( $dR$ , în Å, amplificat cu un factor de 1000), în comparație cu vibrația și raza  $\text{C}_{60}$  goală, calculate cu funcționale corectate în comportarea la distanța și seturi de baza 6-311G\*.

Metoda	Sistem	$W_0$ kcal/mol	$\rho$ Å	$\text{dv}_R(\text{A}_g)$ $\text{cm}^{-1}$	$dR \cdot 10^3$ Å
LC-SVWN	$\text{Ar}@\text{C}_{60}$	36.0	3.278	-0.76	1.64
LC-SVWN	$\text{Kr}@\text{C}_{60}$	53.4	3.229	-0.60	2.61
LC-BP86	$\text{Ar}@\text{C}_{60}$	4.9	3.446	-0.38	0.08
LC-BP86	$\text{Kr}@\text{C}_{60}$	-	-	0.65	0.82
LC-BLYP	$\text{Ar}@\text{C}_{60}$	18.0	3.164	-0.09	0.92
LC-BLYP	$\text{Kr}@\text{C}_{60}$	36.2	3.093	0.15	1.87
LC-WPBE	$\text{Ar}@\text{C}_{60}$	38.1	3.377	-1.52	1.38
LC-WPBE	$\text{Kr}@\text{C}_{60}$	41.2	3.126	0.11	2.16
CAM-B3LYP	$\text{Ar}@\text{C}_{60}$	32.8	3.325	-0.77	1.50
CAM-B3LYP	$\text{Kr}@\text{C}_{60}$	52.9	3.324	-1.19	2.43
HSEH1PBE	$\text{Ar}@\text{C}_{60}$	39.9	3.454	-2.40	0.95
HSEH1PBE	$\text{Kr}@\text{C}_{60}$	45.0	3.380	-1.61	1.76
M11	$\text{Ar}@\text{C}_{60}$	63.7	3.546	-6.44	-0.32
M11	$\text{Kr}@\text{C}_{60}$	12.8	3.330	-0.31	0.59

Since the positive shift of the radial vibration seems a sound physical fact, according to experimental reasons and even simple qualitative reasons, the following numerical experiments are aiming to check the retrieval of this trend in different computational settings. The mapping of the functionals and basis sets cannot be exhaustive, given their extreme variety. For the sake of clarity, we confined only to the two related basis sets, 6-311G\* and 6-311+G\* checking, comparatively, the role of diffuse components, expected to be important in long range effects. The functionals were grouped in three sets: one without any attempted correction of long range account, the other operating extrapolated attenuation of the wrong long-range behaviour, intrinsic to the practical approximation of functionals, and series of functionals incorporating empirical van der Waals corrections. These respective series are illustrated in Tables 5, 6 and 7 for the 6-311G\* based calculations, the 6-311+G\* yielding similar results.

**Tabelul 7.** Parametrii curbei Lennard-Jones pentru interacția gaz nobil-fulerena, deplasarea vibratiei radiale totale simetrice ( $dv_R(A_g)$  în  $\text{cm}^{-1}$ ) și schimbarea razei fulerenei ( $dR$ , în Å, amplificat cu un factor de 1000), în comparație cu vibrația și raza  $C_{60}$  goala, calculate cu funcționale incluzind componente empirice de dispersie și seturi de baza 6-311G\*.

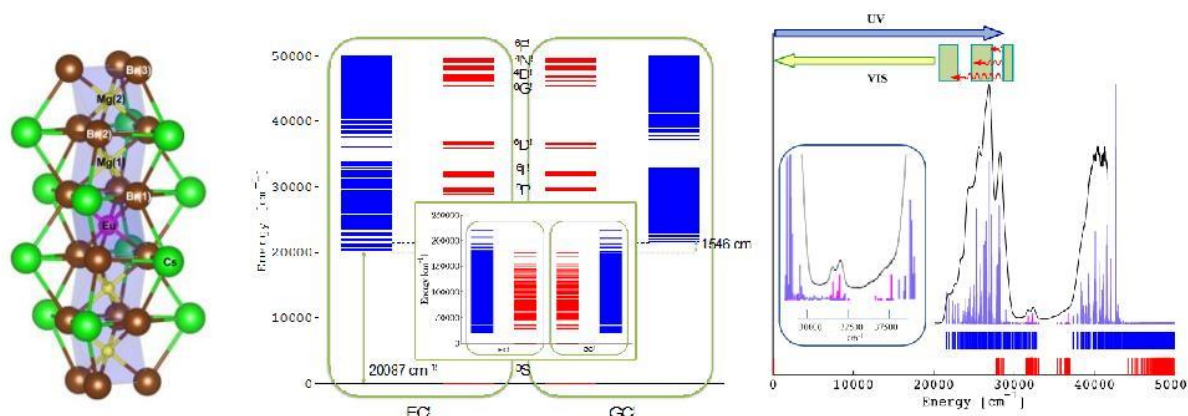
Metoda	Sistem	$W_0$ kcal/mol	$\rho$ Å	$dv_R(A_g)$ $\text{cm}^{-1}$	$dR \cdot 10^3$ Å
B3LYP D2	Ar@ $C_{60}$	7.0	3.546	-0.71	-0.01
B3LYP D2	Kr@ $C_{60}$	19.6	3.358	-0.57	0.88
B3LYP D3	Ar@ $C_{60}$	-	-	0.35	0.46
B3LYP D3	Kr@ $C_{60}$	47.2	2.831	0.71	1.99
B3LYP	Ar@ $C_{60}$	-	-	0.55	0.60
B3LYP	Kr@ $C_{60}$	44.4	3.226	-0.14	2.27
B97D	Ar@ $C_{60}$	-11.9	3.470	0.71	-0.33
B97D	Kr@ $C_{60}$	-69.0	3.567	7.04	0.30
B97D3	Ar@ $C_{60}$	-14.2	3.663	2.14	0.65
B97D3	Kr@ $C_{60}$	-34.9	3.687	5.82	2.08
WB97XD	Ar@ $C_{60}$	57.4	3.454	-3.48	1.36
WB97XD	Kr@ $C_{60}$	-141.6	3.587	16.95	3.25
APFD	Ar@ $C_{60}$	5.5	3.734	-1.38	-0.68
APFD	Kr@ $C_{60}$	6.5	3.533	-0.64	-0.01

Concluzionind rezultatele acestui obiectiv notam din nou ca sistemele particulare propuse, fulerene incorporînd gaze nobile,  $\text{Ng}@C_{60}$  ( $\text{Ng}=\text{Ar},\text{Kr}$ ), supun la teste severe tratamentul interacțiilor van der Waals, și ridică cîteva aspecte metodologice. O problemă reprezintă imposibilitatea de a trasa un profil complet al potențialului prin fitări ale parametrilor Lennard-Jones a contactelor Ng-C prin adaptarea razei fulerenei goale, din moment ce variația energiei la disocierea legăturilor C-C este mult superioară efectelor non-covalente. Propunem un model original ce eludează această problemă, prin coroborarea variației frecvențelor de vibrație al 'modului de respirație' în comparații  $C_{60}$  vs  $\text{Ng}@C_{60}$ , cu variațiile infinitezimale ale razei fulerenei. Un model analitic transparent permite estimarea parametrilor Lennard-Jones pentru

sisteme de tipul Ng@C<sub>60</sub> ca funcție de metoda computațională. Noutatea acestei metode constă în faptul că distanța energiilor de asociere van der Waals este aceeași cu parametrii de intrare ai modelului (energii de vibrație), aflîndu-se în scala de 10<sup>-3</sup> Hartree. Asfăr se evită obținerea unor interacții intermoleculare mici ca și diferență de energii moleculare totale, ce sunt cu șase ordine de mărime mai mari. Un alt aspect pozitiv este eludarea nevoii de corecții de compensare a erorilor generate de superpoziția setului de bază. Calculele au comparat seturile de bază 6-311G\* și 6-311+G\*, precum și diferite funcționale grupate în trei categorii: forme originale necorectate (pure și hibride), funcționale cu corecții la distanțe mari și specii cu ingrediente empirice de dispersie. Cum era de așteptat funcționalele originale manifestă insuccese. Corecțile la distanțe mari aplicate funcționalelor originale înregistrează cîteva succese, în particular pentru setul de bază mai bogat. Metode evaluate ca avînd corecții la distanțe mari mai avansate manifestă totuși eșecuri sistematice. Cîteva metode bazate pe termeni de dispersie de tip Grimme înregistrează cu succes tendințele. Cu toate acestea, vasta majoritate a funcționalelor testate, chiar și cele destinate pentru tratarea problemelor de interacțiune intermoleculară, nu reușesc să descrie tendințele așteptate în ceea ce privește variațiile vibraționale la encapsulare și parametrii Lenard-Jones, în urma manipulațiilor datelor computaționale. Teoria funcționalei de densitate apare încă ca fiind problematică în evaluarea efectelor supra-moleculare subtile, corecțile empirice reprezentând un aparent compromis practic. În același timp, corecțile la distanțe mari, în particular cele proiectate pentru funcționalele pure, urmărind un concept clar, sunt de asemenea promițătoare, cu rezultate îmbunătățite pentru seturi de bază mai bogate.

*Interactii in sisteme supra-moleculare host-guest tubulare. Elaborare de modele originale de estimare a interacțiilor non-covalente.*

Fără a detalia acest subiect, prezentăm doar vederea sinoptică a tratamentului interacțiilor non-covalente de tip Ligand Field ale ionului de Eu(II) encapsulat într-un cluster tubular de ioni bromura și magneziu. Tratamentul este similar celui detaliat în secțiunile anterioare pentru fullereni incorporând ioni de lantanide și este relevant pentru proprietatile de luminofor (studiu considerind și contextul anului 2015, declarat ca an international al luminii și tehnologiilor de iluminare).



**Sinopsis 11.** Structura si proprietatile spectrale ale ionului de Eu(II) encapsulat intr-un cluster tubular de  $\{\text{Mg}_{12}\text{Br}_{18}\}$ , sistem cu proprietati optice speciale.

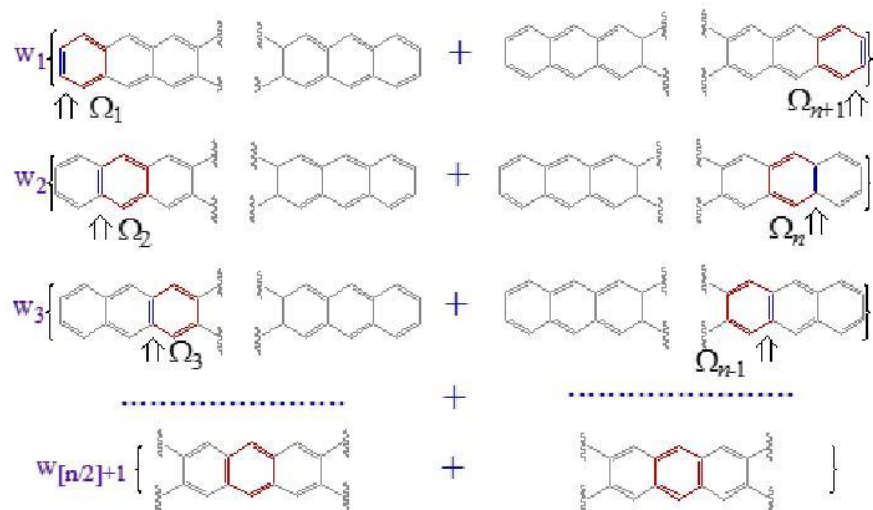
*Cuplaj de spin, proprietati magnetice, electrice si conductie in sisteme de carbon extins conjugate.*

Acest subiect reprezinta abordarea preliminara a obiectivelor anului urmator. Hidrocarburile poli-aromatice (PAH – Poly-Aromatic Hydrocarbons)<sup>39</sup> arată, în varietatea topologiielor lor moleculare, un grup de proprietăți potențial folositoare pentru diferite dispozitive nanostructurate opto-electronice sau magnetice<sup>40</sup>. Spre exemplu, sisteme PAH polimerice semiconductoare sînt larg folosite în display-urile subțiri. De asemenea, moleculele PAH mai sînt folosite și ca reper studii teoretice sau experimentale în ceea ce privește transferul de sarcină și de spin prin entități moleculare de dimensiuni nanometrice cuprinse între electrozi metalici<sup>41</sup> sau în designul dispozitivelor pentru aplicații spintronice ori de electronică moleculară.

Pornind de la ideea că delocalizarea electronică este cauza proprietăților conductoare, vom specula o abordare moleculară a acestui efect, folosind modelul cuplajului de spin și poliacenele drept cazuri de referință. Se poate face o paralelă cu situația magnetismului molecular<sup>42</sup>, care s-a dezvoltat traducînd în limbajul chimiei structurale, conceptele cunoscute în termeni teoriilor stării solide. Modelele actuale de conducție sînt încă tributare unor concepte familiare fizicienilor, cum ar fi fenomenologia transportului balistic. Noi încercăm să dezvoltam un model transparent intuiției chimice, propunând structurile de rezonanță din formalismul legaturii de valenta, elemente ale conductiei de spin și de sarcina, poliacenele liniare fiind cazuri de studiu potrivite pentru acest punct.

Poliacenele sunt hidrocarburi policiclice conjugate, cu formula generală  $\text{C}_{4n+2}\text{H}_{2n+4}$ , cel mai simplu model fiind condensarea liniară a inelelor benzenoide. În modul idealizat, poliacenele liniare sunt plane, cu simetrie  $\text{D}_{2h}$ . Seria începe cu naftalina ( $n = 2$ ) și antracen ( $n = 3$ ), și se

incheie cu heptacen ( $n = 7$ ), cel mai înalt congener cunoscut.<sup>43</sup> Desi redusa ca extensie, clasa prezintă diferite proprietăți optice și electrice<sup>44</sup> cu un potențial interes pentru știința materialelor și nanotehnologii. Astfel, poliacenele sunt capabile de a declanșa efecte cu laser,<sup>45</sup> iar filmele lor sunt semiconductori.<sup>46</sup> Manifestările interesante sunt accentuate odată cu creșterea dimensiunii, fiind corelate cu reducerea progresivă a diferenței dintre orbitalele ocupate și virtuale, și de asemenea, în paralel cu tendința de încrucișare a stărilor singlet și triplet.<sup>47</sup> Diferența scăzută dintre starea fundamentală și triplet determină reactivitatea congenerilor superiori și, probabil, limitarea seriei, atunci când o situație de cvasi-degenerare este atinsă.



**Sinopsis 12.** Schema structurilor de rezonanță ale poliacenelor, formulate ca o legătură dublă "verticală" călătorind dintr-o parte în alta a moleculei. Structurile sunt aranjate în perechi echivalente, relateate prin oglindirea prin mijlocul moleculei.

La un nivel mai sofisticat, dar totuși încă fenomenologic, bazat pe Hamiltonianul de Spin Heisenberg, fiecare structură de rezonanță corespunde unei funcții de undă obținute prin considerarea produselor spin-împerechete de stări cu un spin pe fiecare centru de atom C:

$$\Omega_i = \frac{1}{\sqrt{2^{n+1}}} \left\{ \prod_{k=1}^{\lfloor \frac{n}{2} \rfloor} (\alpha_{2k-1}\beta_{2k} - \beta_{2k-1}\alpha_{2k}) \prod_{k=1}^{\lfloor \frac{n}{2} \rfloor} (\alpha_{2n+2k}\beta_{2n+2k+1} - \beta_{2n+2k}\alpha_{2n+2k}) \right\} \cdot \{ \alpha_{2i+1}\beta_{2n+2i+2} - \beta_{2i+1}\alpha_{2n+2i+2} \} \cdot \left\{ \prod_{k=i+1}^n (\alpha_{2k}\beta_{2k+1} - \beta_{2k}\alpha_{2k+1}) \prod_{k=i+1}^n (\alpha_{2n+2k+1}\beta_{2n+2k+2} - \beta_{2n+2k+1}\alpha_{2n+2k+2}) \right\} \quad (23)$$

Acste stări pot fi folosite drept bază pentru o interacție de configurație limitată folosind Hamiltonianul de Spin Heisenberg:

$$\hat{H} = \sum_{j < i} (-2\hat{S}_i \cdot \hat{S}_j - 1/2) J_{ij} \quad (24)$$

Indiciul pentru a considera poliacenele ca model pentru modelele de conductie este schițat în synopsis 11. Anume, se poate observa că luând structurile de rezonanță de tip Kekulé, există

doar pereche cu o asezare "verticală". Etichetarea "verticală" se referă la molecula cu axa lungă orientată orizontal. O poliacena cu  $n$  inele benzenice, având un conținut de carbon  $C_{4n+2}$ , poate fi considerată ca fiind alcătuita din două lanțuri polienice  $C_{2n+1}$ , mergând în zig-zag de-a lungul axei orizontale, conectate prin  $n+1$  legături carbon-carbon verticale. Atunci când se trasează structurile de rezonanță, din totalul de  $2n+1$  duble legături,  $n$  sunt plasate într-un fragment polienic, celelalte  $n$  fiind simetric plasate în celălalt fragment, în timp ce o legătură dublă e plasată vertical. Acest cuplu distinct se poate plasa în oricare dintre cele  $n+1$  legături carbon-carbon verticale. Astfel, o  $n$ -poliacena are  $n+1$  structuri de rezonanță Kekulé. Rularea dublei legături "verticale" dintr-o parte a moleculei în alta poate fi privită formal ca deplasarea unui cuplu de electroni de-a lungul firului molecular reprezentat de scheletul moleculei liniare.

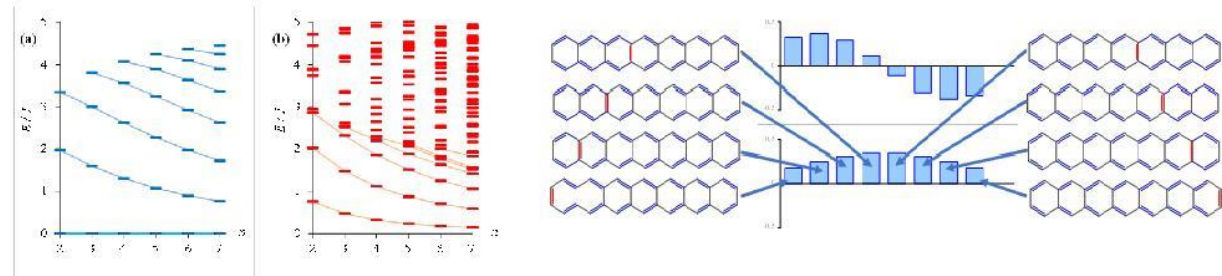
Rezonanțele, etichetate cu  $\Omega_i$ , pot fi enumerate în funcție de poziția a  $i$ -a a legăturii duble verticale. Fără a detalia derivarea, putem prezenta formule generale pentru elementele integralelor de acoperire ale matricii Hamiltonian în baza structurilor Kekulé ale poliacenelor liniare:

$$H_{i,j} = \langle \Omega_i | \hat{H} | \Omega_j \rangle = \left( \frac{1}{4} \right)^{|i-j|} \frac{1}{2} (n + 2 + 9|i - j|) \cdot J \quad (25.a)$$

$$S_{i,j} = \langle \Omega_i | \Omega_j \rangle = \left( \frac{1}{4} \right)^{|i-j|} \quad (25.b)$$

Cu aceste ecuații, putem investiga cu ușurință întregul spectru de stări Valence Bond (VB) în poliacenele mari, în ipoteza suficienței bazei Kekulé. În plus, vom lua în considerare, de asemenea, stările triplet. Pentru acest scop, nu putem obține expresii analitice ale integralelor moleculare, urmând ca acestea să fie estimate numeric. Vom introduce, de asemenea, o presupunere în privința rezonanțelor triplet. Anume, propunem decuplarea succesivă în perechi de electroni alfa a cuplurilor unui singlet Kekulé de referință, dintr-o structură Kekulé cu  $N$  perechi de spin rezultând  $N$  tripleți. Astfel, pentru o  $n$ -poliacena, având  $2n+1$  perechi de electroni și  $n+1$  rezonanțe singlet, obținem o bază triplet cu dimensiuni  $(n+1)(2n+1)$ . Cu acest model rezulta seria de spectre din Sinopsis 13. Panoul din stânga prezintă stările singlet, observând scăderea progresivă a decalajului dintre starea fundamentală și prima stare excitată. Această fapt este paralel cu tendința din diagramele de orbitale moleculare, desă Hamiltonianul de spin nu are o conexiune explicită cu aceste metode. Un aspect foarte interesant se observă în panoul central, arătând stările triplet în raport cu nivelul singlet fundamental. Se constată o reducere rapidă a diferenței singlet-triplet, care devine foarte mică în apropierea congenerului  $n=7$ . Această lucru poate fi bine corelat cu faptul menționat mai sus, că heptacenul este ultimul membru al seriei experimentale. Nivelurile triplet foarte scăzute după acest punct critic fac moleculă să fie predispusă la degradarea reactivă. Gândindu-ne la procesele de oxidare, este bine

cunoscut faptul că acestea sănătățile împiedică cinetică la compusii organici (în timp ce sunt permise termodinamic), prin faptul că procesele singlet-triplet sănătățile interzise de spin. Într-adevăr, sistemele organice sănătățile, de obicei, singleti (strat închis sau structuri cu spin complet imperecheat), în timp ce molecula de oxigen are o stare fundamentală de tip triplet. Atunci când moleculele prezintă sănătățile triplet scăzute, acestea pot interacționa cu oxigenul, deschizând poarta pentru etapele ulterioare de degradare.



**Sinopsis 13.** Stanga: spectrele sănătăților de spin ale seriei de poliacene liniare ( $n = 2 - 7$ ), singlet (în albastru) și triplet (în roșu). Dreapta: histogrammele coeficienților din vectorii proprii ale primelor două sănătățile de spin (starea fundamentală și primul nivel excitat) pentru heptacen ( $n = 7$ ). Structurile de rezonanță care formează baza sunt reprezentate pe margine, indicind legăturile catre coeficientul corespunzător al acestora în starea fundamentală.

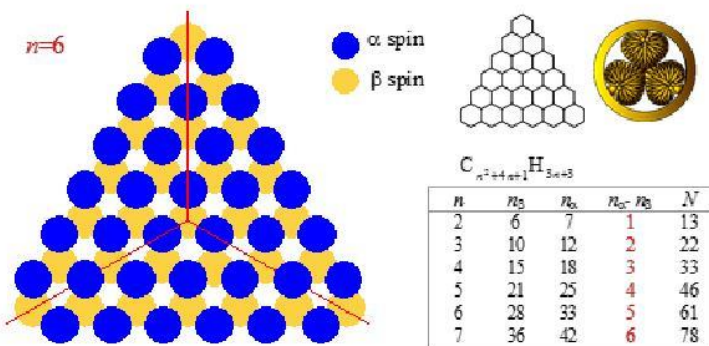
Se constată că rezonanțele care au legăturile duble în apropiere de mijlocul moleculei realizează o participare mai ridicată la starea fundamentală. Acest lucru poate fi înțeles într-o manierăuristică. Rezonanță are loc între obiecte echivalente simetric, și anume structuri legate prin elemente de reflexie sau rotație. Cîștigurile de energie nu sunt egale pentru toate cupluri. Se poate ghica intuitiv că structurile care au legături "verticale" îndepărtate, cum ar fi cuplul  $\Omega_1 - \Omega_8$ , sunt mai puțin eficiente pentru stabilizarea rezonanță. În schimb, cuplul  $\Omega_4 - \Omega_5$  conferă cea mai bună definită stabilizare aromatică. Apoi, din moment ce majoritatea contribuțiilor stabilizatoare provin din structuri de rezonanță care rulează conjugari Kekulé pe inele de la mijlocul moleculei, se înțelege că acestea au ponderi principale în starea fundamentală. Cu alte cuvinte, aromaticitatea poliacenelor liniare poate fi considerată ca fiind concentrată la mijlocul moleculelor.

Prima stare excitată are aceeași simetrie ca un vector dirijat după axa moleculară lungă. Având în vedere paritatea opusă a sănătăților fundamentale și excitate (par vs. impar), cuplarea lor poate fi realizată prin perturbări cu caracter polar, cum ar fi un câmp electric orientat în mod corespunzător. Amestecarea lor reciprocă este mai puternică atunci când se reduce energia primei sănătăți excitate. În acest fel se pot rationaliza proprietățile de conductie ale poliacenelor mari. Aceste corelații susțin ideea conturată, de a considera conductia de-a lungul poliacenei ca

deplasarea legăturii "verticale" reprezentative între extremitatele moleculei, atunci când perturbația polară este indusă de un câmp electric.

*Proprietăți magnetice speciale în sisteme de carbon extins conjugate. Grafene triunghiulare cu spin.*

Am realizat aceasta investigație în continuarea unor preocupări anterioare pentru moleculele de tip grafene cu formă triangulară unde spinul neimperecheat poate apărea în starea fundamentală, din motive topologice.<sup>48</sup> A fost recunoscut de timpuriu că, în hidrocarburi cu topologie corespunzătoare, se pot realiza stări magnetice cu electronii neimperecheați gazduiți în seturi de orbitali cvasi-degenerați (sau chiar degenerați în limitele schemelor Hückel).<sup>49</sup> Acest lucru deschide ideea provocatoare a magnetismului molecular organic și a materialelor magnetice pe bază de carbon.<sup>50</sup> Tând portiuni de grafena în tipare corespunzătoare, se poate întâlni situația spinilor neimperecheați topologic.<sup>51</sup> Vom lua în considerare versiunea idealizată a acestei clase, luând triunghiuri echilaterale realizate din celule benzenoide. O scurtă introducere a spinului topologic în triangulene este sugerată în rezumatul din Sinopsis 14.



**Sinopsis 14.** Sinopsisul spinului determinat topologic în triangulene echilaterale cu formula generală

$$C_{n^2+4n+1}H_{3n+3}, \text{ unde } n \text{ este numărul de unități hexagonale pe o latură.}$$

Exemplul din Sinopsis 14 corespunde la cazul  $n = 6$ , scheletul molecular fiind inserat în sfertul superior din dreapta. Partea din stânga sugerează excesul de electroni  $\alpha$  care rezultă din topologia de polarizare de spin. Astfel, cea mai simplă idee despre legarea chimică ca imperechere de spin conduce la aranjarea alternative a electronilor  $\alpha$  și  $\beta$  pe situri vecine. Astfel, socotind bilele albastre pentru spinul  $\alpha$ , iar cele galbene ca electronii  $\beta$ , se obțin respectivele rezultate 33 vs 28, având un spin net  $S = 5/2$  din excesul de cinci particule cu spin  $\alpha$ . Numărătorile pentru seria  $n = 2-7$  sunt exemplificate în tabelul din colțul din dreapta-jos al sinopsisului discutat. Din analiza combinatorică a cazurilor generale reiese urmatoarea număratoare pentru populația electronică totală:

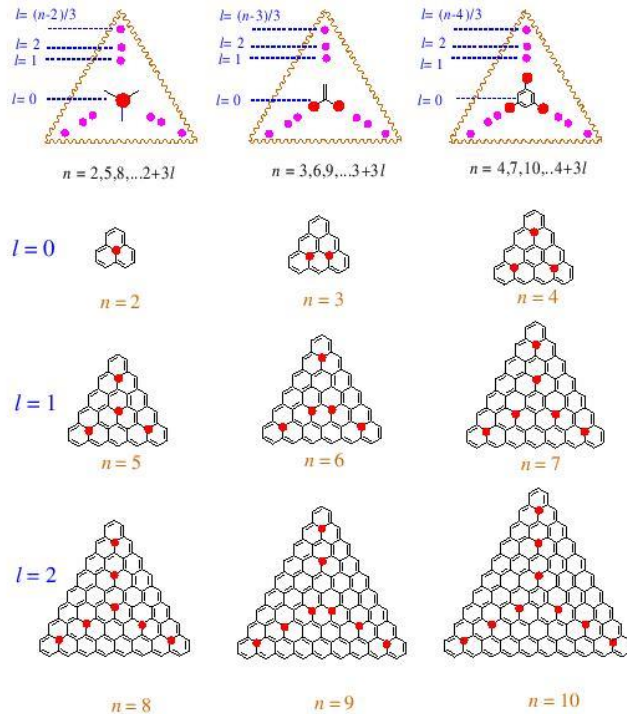
$$n_{\alpha} = \frac{1}{2} n \cdot (n+5) \quad (26.a)$$

$$n_{\beta} = \frac{1}{2} (n+1) \cdot (n+2) \quad (26.b)$$

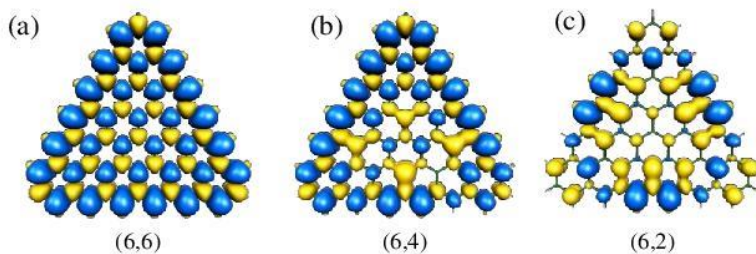
Multiplicitatea de spin corespunzatoare pentru o n-triangulena regulata fiind:

$$2S + 1 = 2(n_{\alpha} - n_{\beta}) / 2 + 1 = n \quad (27)$$

Observăm că există trei clase de poliene triunghiulare, în funcție de topologia structurii de rezonanță cu cea mai mare simetrie imaginabilă. Tabelul "periodic" corespunzător este prezentat în Sinopsis 15. Astfel, am identificat trei tipuri de structuri. Prima, începe cu cel mai simplu element, la  $n = 2$ , fiind caracterizată prin faptul că centrul de simetrie este ocupat de un atom de carbon. Următoarele congeneri, supunându-se aceastei tipologii, sunt la  $n$  egal cu 5 și 8, regularitatea generală fiind  $n = 2 + 3l$ , cu indicii întregi  $l = 0, 1, 2, \dots$  etc. În cazul în care se încearcă realizarea structurii de rezonanță cu cea mai mare simetrie formală, electronii  $\alpha$  sunt plasati după cum urmează: unul la atomul de carbon central și cei rămași pe trei linii echivalente care merg de la centru la noduri. Următoarea clasă începe cu  $n = 3$ , evoluind ca  $n = 3 + 3l$ . Aceste molecule au, de asemenea, un atom de carbon la centrul de simetrie, dar dacă se încearcă realizarea unei structure de rezonanță simetrice, se poate observa că aceasta nu urmează simetria  $D_{3h}$ , obținând cel mult un model  $C_{2v}$ . Zona centrală a acestui tip de rezonanță poate fi descrisă ca miez  $C = C(C.)_2$  având simetria scindată a unei legături duble și a unui fragment biradical. Ultima clasă constă în seria  $n = 4, 7, \dots 4 + 3l$ . Este caracterizată printr-un inel hexagonal în centrul molecular. O structură de rezonanță se poate supune simetriei  $D_{3h}$ . Această clasificare a triangulenelor nu a fost prezentată anterior.



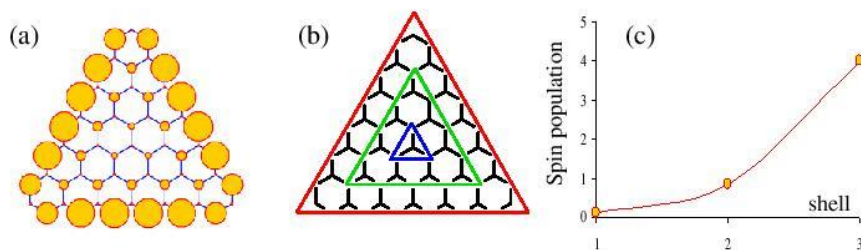
**Sinopsis 15.** Cele trei clase topologice de triangulene.



**Sinopsis 16.** Hartile de densitate de spin din calcule DFT nerestrictive pe diferite multiplicitati ale 6-triangulenei.

Polarizarea de spin pe grafene triunghiulare mari este ilustrată în Sinopsis 16 pentru cazul  $n = 6$ . Se poate observa că alternanța densităților de spin  $\alpha$  și  $\beta$  de la panoul (a) din Sinopsis 16 se potrivește bine cu schema calitativă elaborată intuitiv în Sinopsis 14. Starea fundamentală a 6-triangulenelor este un sextet de spin, panourile (b) și (c) sunt ilustrând alte posibile multiplicități de spin, cu o valoare mai mică, și anume cvartet și dublet. Starea cvartet rupe simetria trigonală a moleculei, harta de spin obținând un aspect  $C_{2v}$ , cu axa care trece prin vârful superior și atomul de carbon central. Starea de spin dublet capătă din nou simetria trigonală, arătând segregarea densității de spin  $\alpha$  pe margini, în timp ce spinul  $\beta$  este polarizat în zona centrală. De fapt, de asemenea, în cazul de stare de spin maxim, acumularea efectivă de spin are loc tot pe margini.

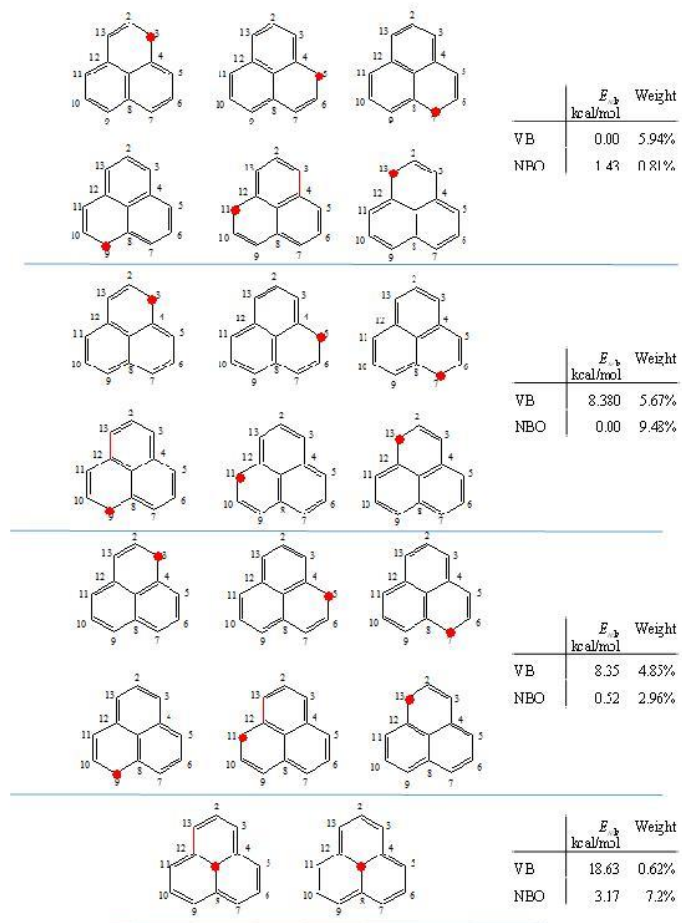
Harta densitatii de spin nu ilustreaza direct acest fapt, dar analiza trasata in Sinopsis 17 ofera detalii.



**Sinopsis 17.** Analiza popулaїiei de spin in 6-triangulena. Panoul (a) aratã populaїiile de spin Mulliken pe atomi, prin cercuri desenate la scala relativã. Panoul (b) defineste împărtїarea moleculei în trei straturi. Panoul (c) traseaza populaїia de spin cumulat pe straturile definite, numerotate de la 1, 2 și 3, din interior spre periferie, respectiv.

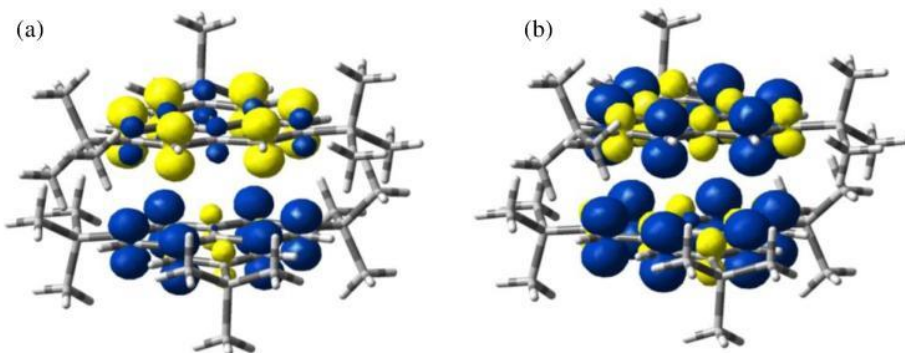
Grafenele mari sunt încă o chestiune de imagine, aduse la o anumita concretizare cu ajutorul simulărilor. Există însa tehnici de litografie în e-fascicul, care pot decupa fragmente aromatice nanometrice 2D după modele definite, pornind de la grafit.<sup>52</sup> În același timp, pași importanți au fost deja realizati în caracterizarea experimentală și sinteza primilor membri ai seriei. Astfel, nucleul cu structura  $n = 2$ , numit fenalenil, este prezent (în formă substituata), în mai mulți derivati bine caracterizati,<sup>53</sup> cu datele structurale de raze X disponibile, cu proprietăți magnetice și au confirmat prin rezonanță electronică de spin (RES) și măsurători de susceptibilitate magnetică.<sup>54</sup> Mai mult decât atât, derivați ai congenerului  $n = 3$ , numit triangulena (din care s-a generalizat numele întregii serii), au fost sintetizati și testati pentru prezenta de spin.<sup>55,56</sup> Varietatea speciilor cu această nucleu nu este foarte mare, dar este încă o promisiune fermă a chimiei de spin pe bază de carbon.

Pedant, moleculele aromatice cu spin topologic pot fi caracterizate ca sisteme non-Kekulé, deoarece scheletul nu poate fi complet acoperit cu legături definite. Cu toate acestea, într-o terminologie mai permisiva, vom considera ca rezonante de tip Kekulé cele care presupun cuplarea de spin doar de-a lungul siturilor conectate, adică excludând liniile de tip Dewar între centrele îndepărtate. Definită în acest mod, baza Kekulé a fenalenilului are 20 de structuri de rezonanta, prezentate în Sinopsis 18. Numărul relativ mare de rezonanțe sugerează aromaticitatea semnificativă a acestui sistem. Există 13 electroni  $\pi$ , comparabil cu antracenul (cu 14 electroni), pentru care doar patru structuri Kekulé sunt disponibile. O realizare nebanală este calculul VB făcut în acest set de structuri de rezonanță, folosind codul VB2000.<sup>57</sup> Datorită amplasării reciproce a legăturilor cuplate cu spin (reprezentate ca legături duble), structurile de rezonanță se încadrează în patru clase diferite, grupate în mod corespunzător în Sinopsis 18.



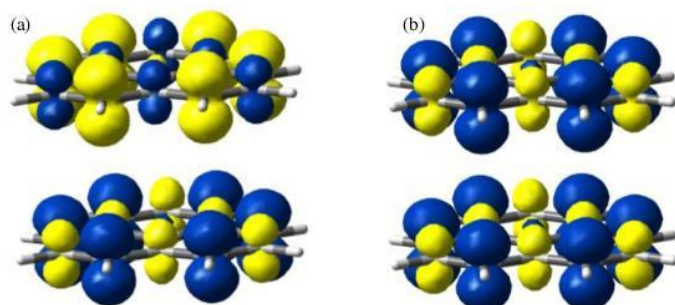
**Sinopsis 18.** Structuri de rezonanță ale radicalul fenalenil, grupate pe clase de echivalență (separate prin linii orizontale). Pentru fiecare clasă, rezultatele calculelor Valence Bond (VB) și analiza post-computatională de Orbitali de legatura naturali (NBO) a rezultatelor DFT sunt prezentate comparativ.

Analiza paralelă în cadrul teoriei NBO (Natural Bond Orbitals)<sup>58</sup> și NRT (Natural Resonance Theory)<sup>59</sup> este adnotată comparativ în secțiunile din Sinopsis 18. Notăm că rezultatele nu sunt bine corelate cu rezultatele VB. De exemplu, cele două structuri de rezonanță simetrice cu pondere redusa în VB primesc un procent destul de mare, de 7,2%, în versiunea NRT. Confuzia este, de asemenea, crescută și de faptul că, în cazul sistemelor cu spin, codul ia doar orbitalii nerestrictionați. În această conjunctură, se obțin seturi disjuncte de ponderi NRT pentru subsistemele  $\alpha$  și  $\beta$ . Aceste două sisteme nu sunt bine corelate într-o imagine acceptabilă intuitiv. De exemplu, descompunerea NRT a subsistemului  $\beta$  (care are un gol în loc de electroni neimperecheati) contribuie cu aproximativ 26% pentru fiecare dintre cele două structuri cu participare scăzută în rezultatele VB. Este regretabil faptul că NRT nu poate funcționa ca înlocuitor al VB, deoarece abordarea VB devine prohibitiva pentru sisteme mari.



**Sinopsis 19.** Hărțile de densitate de spin pentru structura experimentală a dimerului 2,5,8-tri-tert-butil-fenalenil. Partea stângă: configurația Broken Symmetry (BS), având monomeri cu polarizare de spin diferita,  $\alpha$  si  $\beta$  (în albastru și galben, respectiv). Partea dreaptă, High Spin (HS), configurația cu o densitate de ansamblu  $\alpha$ . Monomerii sunt rotiti reciproc cu 180 de grade în propriile lor planuri medii.

La final, atingem problema de cuplare de spin la distanța, luând mai întâi structura experimentală a ansamblurilor supramoleculare de 2,5,8-tri-tert-butil-fenalenil.<sup>60</sup> Aplicam calcule Broken Symmetry Density Functional Theory (BS-DFT)<sup>27</sup> ilustrate în Sinopsis 19. Distanța dintre planurile moleculare medii este de aproximativ 3.2 Å, interacțiunea fiind de așteptat să apară în domeniul legaturii slabe, în care funcționează metoda. Abordarea constă într-un singur calcul nerestricțiv pentru sistemul în stare mare de spin (HS, spin paralel pe cei doi monomeri) și un calcul cu spinul  $\alpha$  concentrat pe un fragment în timp ce spinul  $\beta$  se localizează pe celalalt (Broken Symmetry configuration). BS nu este o stare de singlet reală, dar este un experiment numeric care permite aflarea de informații despre taria cuplajului de spin. Mai detaliat, aşa cum am discutat în privința legaturii de valență, un dimer în forma singlet ar trebui să fie descris de o funcție de undă biconfiguratională ( $\alpha_1\beta_2-\beta_1\alpha_2$ ). BS simulează doar o singură configurație, să zicem  $\alpha_1\beta_2$ . Totuși, acest lucru este de ajuns pentru a extrage date utile.



**Sinopsis 20.** Hartile de densitate de spin pentru dimerul fenalenil ipotetic cind moleculele sunt asezate paralel (cu atomii echivalenți pe aceleasi verticală). Partea stanga: configurația BS. Partea dreapta: configurația High Spin. Distanța dintre cele două plane moleculare este de 3,5 Å.

Din rezultatele diferenței de energie dintre HS și BS (împărțit de diferența corespunzătoare a valorilor medii ale operatorului patratului de spin) se poate estima parametrul de cuplare de schimb  $J$ . De data aceasta,  $J$  se referă la interacțiunile long-range ale orbitalilor de tip  $\pi$  din fiecare subsistem, care, în mod intermolecular acționează de fapt ca fiind o legatura  $\sigma$  la distanța cu acoperire slabă. Am estimat o valoare  $J = -1960 \text{ cm}^{-1}$  ce descrie interacțiunea generală de tip “stacking”. Am provocat, de asemenea, experimentul numeric considerând alinierea în paralel a doi monomeri în conformatie eclipsata. Hărțile de spin ale HS și configurațiile BS sunt trasate în Sinopsis 20. În acest caz, atomii de carbon din diferite unități sunt aliniati pe aceeași axă verticală. În mod formal, se poate diviza cuplajul de schimb inter-dimer prin numărul de atomi, pentru a obține parametrul mediu pentru fiecare pereche carbon-carbon. Atunci când distanța între plane este baleiată prin  $3.0 \text{ \AA}$ ,  $3.5 \text{ \AA}$  și  $4.0 \text{ \AA}$ , cuplajul de schimb inter-dimer, luat ca valoare totală, variază după cum urmează:  $-3440 \text{ cm}^{-1}$ ,  $-1262 \text{ cm}^{-1}$  și  $-367 \text{ cm}^{-1}$ , respectiv. Împărțit per atom, se estimează următoarele dependențe:  $-265 \text{ cm}^{-1}$ ,  $-97 \text{ cm}^{-1}$  și  $-28 \text{ cm}^{-1}$ . Acest experiment numeric oferă informații valoroase pentru modelarea în continuare a efectelor de stacking prin formalisme de cuplaj de spin.

### *Concluzii.*

Folosind o largă paleta de dezvoltari metodologice, testate prin dezvoltari relateionate obiectivelor de etapa, s-au adus contribuții inedite tematicii vizate, cu relevanță atât în comunitatea specializarilor teoretice cit și către un public larg, prin deschiderea către interpretarea euristică și relatări cu experimentul.

\*  
\*\*  
\*\*\*  
\*\*\*\*

### *Sumar rezultate.*

S-au contractat 7 articole ISI si s-au realizat **14** articole ISI, **4** capitole de carte (editurile Springer si IGI Global), **1** carte (editura Springer), **24** participari in conferinte (prezentari invitata, keynotes, prezentari orale, postere, la manifestari nationale si internationale).

#### **Articole:**

14. Toader, A.M.; Buta, C.; Frecus, B.; Diudea, M.; Cimpoesu, F.  
*J. Chem. Theory Comput.* **2016**, submitted.
13. Cimpoesu, F.; Buta, C.; Ferbinteanu, M.; Philpott, M.R.; Stroppa, A.; Putz, M.,  
*Curr. Org. Chem.*, **2016**, in press.
12. Frecus, B.; Buta, C.M.; Oprea, CI; Stroppa, A.; Putz, M.V.; Cimpoesu, F.,  
*Theor. Chem. Acc.* **2016**, 135(5), 133 (1-9).
11. Oprea, C.; Petcu, L.C.; Girtu, M.  
*E-Health and Bioengineering - EHB* **2015**, DOI: 10.1109/EHB.2015.7391481.
10. Ramanantoanina, H.; Urland, W.; Herden, B.; Cimpoesu, F.; Daul, C.  
*Phys. Chem. Chem. Phys. PCCP* **2015**, 17(14), 9116-9125.
9. Ramanantoanina, H.; Sahnoun, M.; Barbiero, A.; Ferbinteanu, M.; Cimpoesu, F.  
*Phys. Chem. Chem. Phys.* **2015**, 17(28), 18547-18557.
8. Garcia-Fuente, A.; Cimpoesu, F.; Ramanantoanina, H.; Herden, B.; Daul, C.; Suta, M.; Wickleder, C. ; Urland, W.  
*Chem. Phys. Lett.* **2015**, 622, 120-123.
7. Ramanantoanina, H.; Cimpoesu, F.; Gottel, C.; Sahnoun, M.; Herden, B.; Suta, M.; Wickleder, C.; Urland, W.; Daul, C.  
*Inorg. Chem.* **2015**, 54(17), 8319-8326.
6. Cimpoesu, F.;Frecus, B.; Oprea, C.I.; Ramanantoanina, H.; Urland, W.; Daul, C.  
*Mol. Phys.* **2015**, 113(13-14), 1712-1727.
5. Ramanantoanina, H.; Urland, W.; García-Fuente, A.; Cimpoesu, F.; Daul, C.  
*Phys. Chem. Chem. Phys.* **2014**, 16(28), 14625-14634.
4. Frecus, B.; Oprea, C.I.; Panait, P.; Ferbinteanu, M.; Cimpoesu, F.; Gîrtu, M. A.  
*Theor. Chem. Acc.* **2014**, 133,1470.
3. Cimpoesu, F.; Frecus, B.; Oprea, C.I.: Panait, P., Gîrtu, M. A.  
*Comp. Mat. Sci.* **2014**, 91, 320-328.
2. Ramanantoanina, H.; Urland, W.; Cimpoesu, F.; Daul, C.  
*Phys. Chem. Chem. Phys.* **2014**, 16, 12282-12290.
1. Cimpoesu, F.; Dragoe, N.; Ramanantoanina, H.; Urland, W.; Daul, C.  
*Phys. Chem. Chem. Phys.* **2014**, 16, 11337-11348.

#### **Capitole de carte:**

4. Putz, M. V.; Cimpoesu, F.; Ferbinteanu, M.  
*New keys for Old Keywords. Hybridization and Aromaticity, Graphs and Topology In Structural Chemistry Principles, Methods, and Case Studies*, Springer, 2017, in press.
3. Ferbinteanu,M.; Buta, C.;Toader, A.M.; Cimpoesu, F.  
*The Spin Coupling in the Polyaromatic Hydrocarbons and Carbon-based Materials*

In *Organic synthesis and carbon related materials- Dedicated to Nobel Laureate Prof. Akira Suzuki for his 85th birthday*, Springer, 2017, in press.

2. Ferbinteanu, M.; Ramanantoanina, H.; Barbiero, A.; Cimpoesu, F.

*Bonding mechanisms and causal relationships with magnetic properties in extended coordination systems: Case studies in the challenge of property design at nanoscale*, in *Sustainable Nanosystems Development, Properties, And Applications*, Eds.: Mihai V. Putz & Marius C. Mirica, IGI publisher, 2017, in press. ISBN13: 9781522504924 DOI: 10.4018/978-1-5225-0492-4.

1. Ferbinteanu, M.; Cimpoesu, F.; Tanase, S.

*Metal-Organic Frameworks with d-f Cyanide Bridges: Structural Diversity, Bonding Regime, and Magnetism*, in *Lanthanide Metalorganic Frameworks*, Ed. Peng Cheng, *Structure and Bonding* **2015**, 163, 185-229,

ISBN: 978-3-662-45772-6 (Print) 978-3-662-45773-3 (Online)

DOI: 10.1007/430\_2014\_156M, WOS:000348907100007.

### Carte:

Putz, M.V.; Cimpoesu, F.; Ferbinteanu, M. *Structural Chemistry Principles, Methods, and Case Studies*, Springer, 2017, 800 pag., in press.

*Toate acestea mentioneaza suportul UEFISCDI.*

### Referinte

<sup>1</sup> H. Ramanantoanina, W. Urland, F. Cimpoesu and C. Daul, *Phys. Chem. Chem. Phys.*, **2014**, 16, 12282-12290.

<sup>2</sup> F. Cimpoesu, N. Dragoe, H. Ramanantoanina, W. Urland, and C. Daul, *Phys. Chem. Chem. Phys.* **2014**, 16, 11337.

<sup>3</sup> (a) T. Kanbara, Y. Kubozono, Y. Takabayashi, S. Fujiki, S. Iida, Y. Haruyama, S. Kashino, S. Emura and T. Akasaka, *Phys. Rev. B* **2001**, 6411, 113403. (b) T. Inoue, Y. Kubozono, S. Kashino, Y. Takabayashi, K. Fujitaka, M. Hida, M. Inoue, T. Kanbara, S. Emura and T. Uruga, *Chem. Phys. Lett.* **2000**, 316, 381. (c) R. F. Sabirianov, W. N. Mei, J. Lu, Y. Gao, X. C. Zeng, R. D. Bolksar, P. Jeppson, N. Wu, A. N. Caruso and P. A. Dowben, *J. Phys.-Condes. Matter*, **2007**, 19, 6.

<sup>4</sup> (a) A. Á. Náfrádi, Á. Pásztor, L. Forró, L. F. Kiss, T. Fehér, É. Kováts, S. Pekker and A. Jánossy, *J. Phys. Chem. Lett.*, **2012**, 3, 3291. (b) M. Treier, P. Ruffieux, R. Fasel, F. Nolting, S. Yang, L. Dunsch and T. Greber, *Phys. Rev. B*, **2009**, 80, 081403. (c) J. Tang, I. J. Hewitt, N. T. Madhu, G. Chastanet, W. Wernsdorfer, C. E. Anson, C. Benelli, R. Sessoli and A. K. Powell, *Angew. Chem. Int. Ed.*, **2006**, 45, 1729.

<sup>5</sup> (a) M. M. Olmstead, A. de Bettencourt-Dias, J. C. Duchamp, S. Stevenson, H. C. Dorn and A. L. Balch, *J. Am. Chem. Soc.* **2000**, 122, 12220. (b) L. Dunsch, M. Krause, J. Noack and P. Georgi, *J. Phys. Chem. Solids*, **2004**, 65, 309. (c) S. F. Yang, M. Kalbac, A. Popov and L. Dunsch, *ChemPhysChem*, **2006**, 71990. (d) S. F. Yang, A. A. Popov, M. Kalbac and L. Dunsch, *Chem. Eur. J.*, **2008**, 14, 2084. (e) S. Yang, A. A. Popov, C. Chen and L. Dunsch, *J. Phys. Chem. C* **2009**, 113, 7616. (f) S. Stevenson, C. Chancellor, H. M. Lee, M. H. Olmstead and A. L. Balch, *Inorg. Chem.* **2008**, 47, 1420.

<sup>6</sup> R. Westerström, J. Dreiser, C. Piamonteze, M. Muntwiler, S. Weyeneth, H. Brune, S. Rusponi, F. Nolting, A. Popov, S. Yang, L. Dunsch and T. Greber, *J. Am. Chem. Soc.* **2012**, 134, 9840.

<sup>7</sup> (a) N. Ishikawa, M. Sugita and W. Wernsdorfer, *Angew. Chem. Int. Ed.* **2005**, 44, 2931-2935. (b) N. Ishikawa, M. Sugita and W. Wernsdorfer, *J. Am. Chem. Soc.* **2005**, 127, 3650. (c) N. Ishikawa *Struct. Bonding* **2010**, 135, 211-228.

- 
- <sup>8</sup> a) G. Christou, D. Gatteschi, D. N. Hendrickson, R. Sessoli, *MRS Bull.* **2000**, *25*, 66-71. b) D. Gatteschi, R. Sessoli, *Angew. Chem. Int. Ed.* **2003**, *42*, 268-297. c) M. Murugesu, M. Habrych, W. Wernsdorfer, K. A. Abboud, G. Christou, *J. Am. Chem. Soc.* **2004**, *126*, 4766-4767. d) A. J. Tasiopoulos, A. Vinslava, W. Wernsdorfer, K. A. Abboud, G. Christou, *Angew. Chem.* **2004**, *116*, 2169-2173. e) G. Aromi, E. K. Brechin, *Struct. Bonding* **2006**, *122*, 1-67.
- <sup>9</sup> A. Caneschi, D. Gatteschi, R. Sessoli, A. L. Barra, L. C. Brunel, M. Guillot, *J. Am. Chem. Soc.* **1991**, *113*, 5873-5874.
- <sup>10</sup> K. R. Dunbar, *Inorg. Chem.* **2012**, *51*, 12055-12058.
- <sup>11</sup> J.-P. Costes, F. Dahan, W. Wernsdorfer, *Inorg. Chem.* **2006**, *45*, 5-7.
- <sup>12</sup> (a) R. Sessoli, D. Gatteschi, A. Caneschi, M. Novak, *Nature* **1993**, *365*, 141. (b) Michael N. Leuenberger and D. Loss, *Nature* **2001**, *410*, 789. (c) L. Bogani and W. Wernsdorfer *Nat. Mater.* **2008**, *7*, 179.
- <sup>13</sup> Tian Huang Jin Zhao Min Feng Alexey A. Popov Shangfeng Yang Lothar Dunsch Hrvoje Petek *Chem. Phys. Lett.* **2012**, *552*, 1.
- <sup>14</sup> Cotton, F. A.; Wilkinson, G. *Advanced Inorganic Chemistry*, 5th edn., John Wiley, New York, **1988**, pp. 776, 955.
- <sup>15</sup> (a) De Cian, A.; Moussavi, M.; Fischer, J.; Weiss, R. *Inorg. Chem.* **1985**, *24*, 3162. (b) Moussavi, M.; De Cian, A.; Fischer, J.; Weiss, R. *Inorg. Chem.* **1988**, *27*, 1287.
- <sup>16</sup> (a) Rajaraman, G.; Totti, F.; Bencini, A.; Caneschi, A.; Sessoli, R.; Gatteschi, D. *Dalton Trans.* **2009**, 3153-3161. (b) Singh, S. K.; Tibrewal, N. K.; Rajaraman, G. *Dalton Trans.* **2011**, *40*, 10897-10906.
- <sup>17</sup> (a) Nakano, H.; Nakayama, K.; Hirao, K.; Dupuis, M. *J. Chem. Phys.* **1997**, *106*, 4912-4917. (b) Roos, B.O.; Andersson, K.; Fulcher, M.K.; Malmqvist, P.-A.; Serrano-Andres, L.; Pierloot, K.; Merchan, M. *Adv. Chem. Phys.* **1996**, *93*, 219-331. (c) Pierloot, K. in Cundari, T. (Ed.). *Computational Organometallic Chemistry*. Marcel Dekker Inc. New York, **2001**, p.123-158.
- <sup>18</sup> (a) M. Ferbinteanu, F. Cimpoesu, M. A. Girtu, C. Enachescu, S. Tanase, *Inorg. Chem.* **2012**, *51*, 40-50. (b) F. Cimpoesu, S. Dahan, S. Ladeira, M. Ferbinteanu, J.-P. Costes, *Inorg. Chem.* **2012**, *51*, 11279-11293.
- <sup>19</sup> B. G. Wybourne, *Spectroscopic Properties of Rare Earths*, Wiley Interscience, New York, **1965**.
- <sup>20</sup> K.W. H. Stevens, *Proc. Phys. Soc. A* **1952**, *65*, 209-215.
- <sup>21</sup> Newman, D. J.; Ng, B. K. C. *Crystal Field Handbook*, Cambridge University Press, Cambridge, **2000**.
- <sup>22</sup> (a) B.N. Figgis and M.A. Hitchman, *Ligand Field Theory and its Applications* (Wiley-VCH, New York, 2000). (b) E.I. Solomon and A.B.P. Lever, editors, *Inorganic Electronic Structure and Spectroscopy* (Wiley & Sons, New York, 1999).
- <sup>23</sup> (a) S. Hüfner, *Optical Spectra of Transparent Rare Earth Compounds*. (Academic Press, New York, 1978). (b) D. J. Newman and B. Ng, *Crystal Field Handbook*, Cambridge University Press, Cambridge, 2000.
- <sup>24</sup> (a) C. F. Schäffer, *Proc. Roy Soc. A*, **1967**, *297*, 96. (b) C. F. Schäffer, *Theoret. Chim. Acta*, **1966**, *4*, 166.
- <sup>25</sup> F. Cimpoesu, N. Dragoe, H. Ramanantoanina, W. Urland, and C. Daul, *Phys. Chem. Chem. Phys.* **2014**, *16*, 11337.
- <sup>26</sup> W. Fu, J. Zhang, T. Fuhrer, H. Champion, K. Furukawa, T. Kato, J.E. Mahaney, B.G. Burke, K.A. Williams, K. Walker, C. Dixon, J. Ge, C. Shu, K. Harich, and H.C. Dorn, *J. Am. Chem. Soc.* **2011**, *133*, 9741.
- <sup>27</sup> (a) L. Noddleman and J.G. Norman, *J. Chem. Phys.* **1979**, *70*, 4903. (b) L. Noddleman, *J. Chem. Phys.* **1981**, *74*, 5737. (c) A. Bencini and F. Totti, *Int. J. Quant. Chem.* **2005**, *101*, 819. (d) M. Mitani, V. Mori, Y. Takano, D. Yamaki, Y. Yoshioka, and K. Yamaguchi, *Chem. Phys.* **2000**, *113*, 4035.
- <sup>28</sup> B. Frecus, C.I. Oprea, P. Panait, M. Ferbinteanu, F. Cimpoesu, M. A. Girtu, *Theor. Chem. Acc.* **2014**, *133*, 1470.
- <sup>29</sup> F. Cimpoesu, B. Frecus, C. I. Oprea, P. Panait, M. A. Girtu, *Comput. Mat. Science* **2014**, *91*, 320-328
- <sup>30</sup> M. Ferbinteanu, F. Cimpoesu, and S. Tanase, *Structure and Bonding* **2015**, *163*, 185-229.
- <sup>31</sup> Hohenberg P, Kohn W. *Phys Rev B* **1964**, *136*, 864.
- <sup>32</sup> Kohn W, Sham LJ. *Phys Rev A* **1965**, *140*, 1133.
- <sup>33</sup> (a) Leininger T, Stoll H, Werner H-J, Savin A. *Chem Phys Lett* **1987**, *275*, 151. (b) Kohn W, Meir Y, Makarov DE. *Phys Rev Lett* **1998**, *80*, 4153. (c) Mourik TV, Gdanitz RJ. *J Chem Phys* **2002**, *116*, 9620.
- <sup>34</sup> Andersson Y, Langreth DC, Lundqvist BI. *Phys Rev Lett* **1996**, *76*, 102.
- <sup>35</sup> Goll E, Werner HJ, Stoll H, Leininger T, Gori-Giorgi P, Savin A. *Chem Phys* **2006**, *329*, 276.
- <sup>36</sup> Iikura H, Tsuneda T, Yanai T, Hirao K. *J Chem Phys* **2002**, *115*, 3540.
- <sup>37</sup> (a) Kamiya M, Tsuneda T, Hirao K. *J Chem Phys* **2002**, *117*, 6010. (b) Sato T, Tsuneda T, Hirao K. *Mol Phys* **2005**, *103*, 1151.
- <sup>38</sup> Grimme S, Ehrlich S, Goerigk L. *J Comput Chem* **2011**, *32*, 1456.
- <sup>39</sup> E. Clar, *Polycyclic Hydrocarbons*, Academic Press, London, **1964**.

- 
- <sup>40</sup> Y. Geerts, G. Klärner, K. Müllen, In *Electronic Materials: The Oligomer Approach*, K. Müllen, G. Wagner, Eds.; Wiley-VCH: Weinheim, Germany, **1998**; p 48.
- <sup>41</sup> C. Joachim and M. A. Ratner, *Proc. Nat. Acad. Sci. (US)* **2005**, 102, 8801-8808.
- <sup>42</sup> Kahn O., Molecular Magnetism, **1993**, VCH Publisher, New York.
- <sup>43</sup> Payne, M.M.; Parkin, S.R.; Anthony, J.E *J. Am. Chem. Soc.*, **2005**, 127, 8028–8029.
- <sup>44</sup> Reddy, A.R.; Bendikov, M. *Chem. Commun.*, **2006**, 1179–1181.
- <sup>45</sup> Schön, J.H.; Kloc, C.; Dodabalapur, A.; Batlogg, B. *Science*, **2000**, 289, 599–601
- <sup>46</sup> Raghu, C.; Pati, Y.A.; Ramasesha, S. *Phys. Rev. B*, **2002**, 65, 155204..
- <sup>47</sup> Kivelson S.; Chapman, O.L. *Phys. Rev. B*, **1983**, 28, 7236-43
- <sup>48</sup> (a) Philpott, M.R.; Cimpoesu, F.; Kawazoe, Y., *Mater Trans*, **2008**, 49(11), 2448 - 2456. (b) Philpott, M.R.; Cimpoesu, F.; Kawazoe, Y., *Chem Phys*, **2008**, 354, 1-15. (c) Pople, J.A.; Walmsley, S.H., *Mol Phys* , **1962**, 5, 15-20.
- <sup>49</sup> (a) Higuchi, J., *J. Chem. Phys.*, **1963**, 38, 1237. (b) Longuet-Higgins, H.C., *J. Chem. Phys.* **1950**, 18, 265. (c) Ovchinnikov, A. A; *Theor. Chem. Acc.*, **1978**, 47, 297-304. (d) Lieb, E.H., *Phys Rev Lett*, **1989**, 62, 1201-1204.
- <sup>50</sup> (a) Sanvito, S., *Nat Nanotech*, **2007**, 2, 204-206. (b) Pramanik, S.; Stefanita, C.G.; Patibandla, S.; Bandyopadhyay, S.; Garre, K.; Harth, N.; Cahay, M., *Nat Nanotech*, **2007**, 2, 216-219. (c) Dediu, V.A.; Hueso, L.E.; Bergenti, I.; Taliani, C., *Nature Materials*, **2009**, 8, 707-716.
- <sup>51</sup> (a) Stein, S.E.; Brown, R.L.; *J. Am. Chem. Soc.* **1987**, 109, 3721–3729. (b) Fernandez-Rossier, J.; Palacios, J.J., *Phys. Rev. Lett.* **2007**, 99, 177204-4.
- <sup>52</sup> (a) Geim, A.K.; MacDonald, A.H., *Phys Today*, **2007**, 60, 35-41. (b) Novoselov, K.S.; Jiang, D.; Schedlin, F.; Khotkevich, V.V.; Morozov, S.V.; Geim, A.K., *Proc Nat Acad Sci USA*, **2005**, 102, 10451-53.
- <sup>53</sup> Goto, K.; Kubo, T.; Yamamoto, K.; Nakasaji, K.; Sato, K.; Shiomi, D.; Takui, T.; Kubota, M.; Kobayashi, T.; Yakusi, K.; Ouyang, J., *J Am Chem Soc* , **1999**, 121, 1619–1620.
- <sup>54</sup> (a) Hicks, R.G., *Org Biomol Chem*, **2007**, 5, 1321–1338. (b) Morita, Y.; Suzuki, S.; Sato, K.; Takui, T., *Nature Chem*, **2011**, 3, 197.
- <sup>55</sup> (a) Allinson, G.; Bushby, R. J.; Paillaud, J. L.; Oduwole, D.; Sales, K., *J. Am. Chem. Soc.*, **1993**, 115, 2062-2064. (b) Allinson, G.; Bushby, R.J.; Jesudason, M.V.; Paillaud, J.L.; Taylor, N., *J Chem Soc Perkin Trans*, **1997**, 2, 147-156.
- <sup>56</sup> Inoue, J.; Fukui, K.; Kubo, T.; Nakazawa, S.; Sato, K.; Shiomi, D.; Morita, Y.; Yamamoto, K.; Takui, T.; Nakasaji, K., *J Am Chem Soc*, **2001**, 123, 12702–12703.
- <sup>57</sup> (a) Li, J.; Duke, B.; McWeeny, R., VB2000 Version 2.0, **2007**, SciNet Technologies, San Diego, CA. (b) Li, J.; McWeeny, R., *Int J Quantum Chem*, **2002**, 89, 208-216
- <sup>58</sup> Glendening ED, Reed AE, Carpenter JE, Weinhold F, The NBO3.0 program, University of Wisconsin, Copyright 1996-2001.
- <sup>59</sup> (a) Glendening ED, Weinhold F. *J Comput. Chem.* **1998**, 19(6), 593-609. (b) Glendening ED, Weinhold F *J Comput. Chem.* **1998**, 19:610-627. (c) Glendening ED, Badenhoop JK, Weinhold F *J Comput. Chem.* **1998**, 19, 628-646.
- <sup>60</sup> Goto K, Kubo T, Yamamoto K, Nakasaji K, Sato K, Shiomi D, Takui T, Kubota M, Kobayashi T, Yakusi K, Ouyang J *J Am Chem Soc* **1999**, 121, 1619–1620.